

JFMN  
29 mai 2015

# Actualités TEP-IRM en cardiologie

**Philipp A. Kaufmann, MD, FESC, FSCCT**

**Professeur & Chef du Département de Médecine Nucléaire**

**Directeur de l'Imagerie Cardiaque**

**Hôpital Universitaire de Zurich**



**UniversityHospital  
Zurich**

JFMN  
29 mai 2015

**COI Disclosure:  
Institutional research contract with GE Healthcare**





AMERICAN SOCIETY OF  
NUCLEAR CARDIOLOGY

# JOURNAL OF NUCLEAR CARDIOLOGY

Official Publication of the American Society of Nuclear Cardiology

Last updated: Monday 1 January 0007

[Search](#) | [Advanced Search](#)

[Home](#)

[Journal](#)

[Online First](#)

[Current Issue](#)

[Past Issues](#)

[Annual Meeting Abstracts](#)

[Review Articles](#)

[Podcasts](#)

[Advanced Search](#)

[Services](#)

[Subscription Info](#)

[Electronic Sample Copy](#)

[Bulk Orders & Reprints](#)

[Supplements](#)

[Toc Alert](#)

 [RSS Feed](#)

[Permission Requests](#)

[Advertising Rate Card](#)

[About JNC](#)

[Author Information](#)

[Resources](#)

[Home](#) > [Past Issues](#)

## Volume 22, Number 2 / April, 2015

### Cardiac PET/MR: Big footprint—small step?

Philipp A Kaufmann MD, FESC, FSCCT

Editor's Page

[View abstract](#) | [View full article HTML](#) | [View full PDF](#)

### A selection of recent, original research papers

Saurabh Malhotra MD, MPH, Prem Soman MD, PhD, FRCP (UK), FACC

Nuclear Cardiology in the Literature

[View abstract](#) | [View full article HTML](#) | [View full PDF](#)

### Myocardial viability as integral part of the diagnostic and therapeutic approach to ischemic heart failure

Jeroen J. Bax MD, PhD, Victoria Delgado MD, PhD

Review Article

[View abstract](#) | [View full article HTML](#) | [View full PDF](#) | [Open choice](#)

### Review of cardiovascular literature

Fadi G. Hage MD, FASH, FACC, Wael AlJaroudi MD, FACC, FAHA, FESC, FASNC

Nuclear cardiology in the literature

[View abstract](#) | [View full article HTML](#) | [View full PDF](#)

### Regadenoson provides perfusion results comparable to adenosine in heterogeneous patient populations: A quantitative analysis from the ADVANCE MPI trials

John J. Mahmarian MD, FACC, FASNC, Leif E. Peterson PhD, Jiaqiong Xu PhD, Manuel

D. Cerqueira MD, FACC, Ami E. Iskandrian MD, MACC, Timothy M. Bateman MD, FACC,

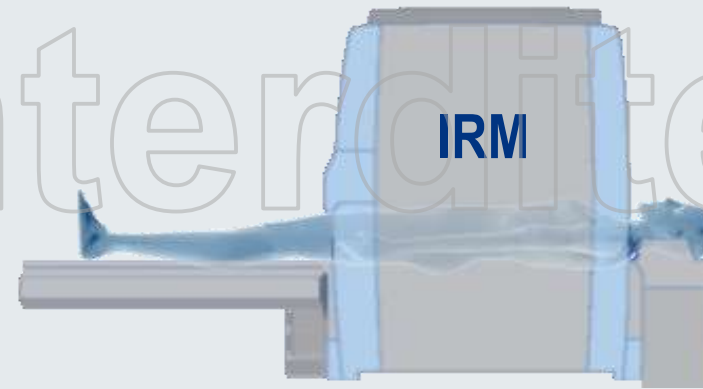
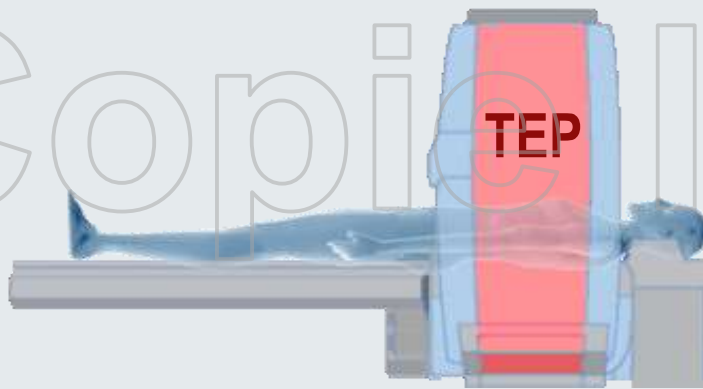
Gregory S. Thomas MD, MPH, FACC, Faisal Nabi MD, FACC

Original Article



University Hospital  
Zurich

# Examen hybride TEP-IRM



**Séparés**

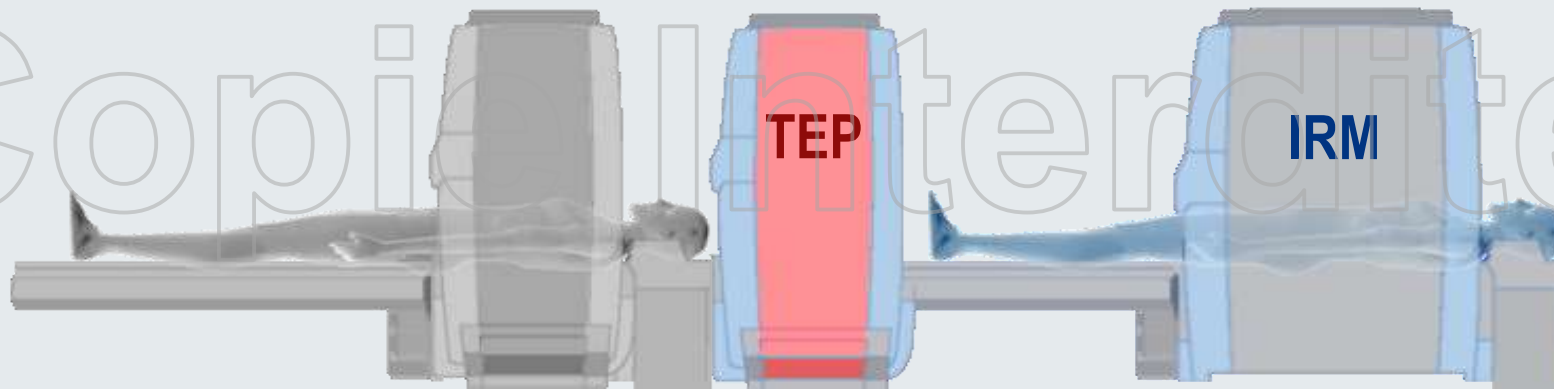


UniversityHospital  
Zurich

Remerciements à M. Wissmeyer



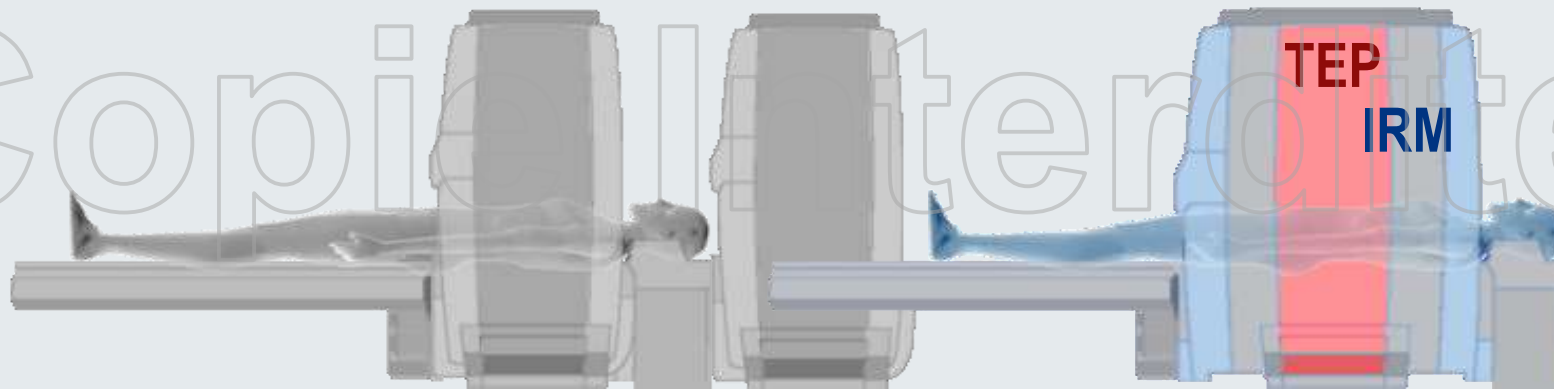
# Examen hybride TEP-IRM



**Séparés** ⇒ **Co-planaires**



# Examen hybride TEP-IRM



**Séparés**



**Co-planaires**



**Intégrés**





SIGNA PET/MR  
GE Healthcare



**Table 1.** Avantages et limitations des différentes modalités d'imagerie cardiovasculaire

	TEP	TDM	IRM
Avantages	<p>Haute sensibilité des traceurs pour l'imagerie moléculaire</p> <p>Correction d'atténuation intégrée</p> <p>Quantification de la perfusion myocardique dans la maladie coronarienne et la maladie microvasculaire</p> <p>Evaluation de la viabilité</p> <p>Evaluation de l'inflammation</p>	<p>Haute résolution spatiale</p> <p>Imagerie détaillée des vaisseaux coronaires et de l'anatomie</p> <p>Quantification des calcifications coronariennes</p> <p>Durée d'examen plus courte de l'IRM</p> <p>Employé chez les patients avec des appareils métalliques implantés</p> <p>Généralement disponible</p>	<p>Haute résolution spatiale et temporelle</p> <p>Excellent contraste des tissus mous</p> <p>Evaluation des cicatrices par RTG (LGE)</p> <p>Evaluation de l'anatomie et de la fonction</p> <p>Evaluation de la perfusion myocardique</p> <p>Potentiel d'imagerie moléculaire</p> <p>Pas de radiation ionisante</p>
Désavantages	<p>Manque d'informations anatomiques détaillées</p> <p>Exposition aux radiations</p> <p>Pas généralement disponible</p> <p>Manque de large disponibilité des traceurs</p> <p>Coûteux</p>	<p>Exposition aux radiations</p> <p>Contraste contre-indiqué lors d'insuffisance rénale</p> <p>Risque de néphropathie due au contraste</p> <p>Limité chez les patients avec arythmie ou fréquence cardiaque élevée</p> <p>Données fonctionnelles seulement par acquisition rétrospective</p>	<p>Contre-indication pour certains appareils implantés</p> <p>Gadolinium contre-indiqué lors d'insuffisance rénale</p> <p>Claustrophobie du patient</p> <p>Requiert la coopération du patient</p> <p>Examen relativement long</p> <p>Coûteux</p>





# Examen hybride TEP-IRM

- **Original motivation**

- To improve PET spatial resolution by reducing the range of positron travel within a magnetic field

*B. E. Hammer et al., "Use of a magnetic field to increase the spatial resolution of positron emission tomography," Med. Phys. 21 (1994).*

- **Motivation has shifted to simultaneous image acquisition**

- Similar acquisition times for MR and PET (~minutes)
- Real-time MR (e.g., navigator-based planar imaging) can be used to rebin the PET data (4D PET)

- **Early challenge: MR-compatible PET detectors**

- A single ring LSO detector within the magnetic field
- Coupled to position-sensitive PMTs placed outside the field
- Long (3-4 m) fiber optic coupling (Simon Cherry, UCLA)

*K. Farahani et al., "Contemporaneous positron emission tomography and MR imaging at 1.5 T," J. Magn. Reson. Imaging 9 (1999).*



# A-t-on vraiment besoin d'un TEP/IRM hybride?

Med. Phys. 34 (5), May 2007

## Simultaneous PET/MR will replace PET/CT as the molecular multimodality imaging platform of choice

Habib Zaidi, Ph.D.

Director of Nuclear Medicine, Geneva University Hospital, CH-1211 Geneva 4, Switzerland  
(Tel: +41 22 725 7226; Email: habib.zaidi@unige.ch)

Geema Mawlawi, Ph.D.

Department of Imaging Physics, The University of Texas M. D. Anderson Cancer Center, Houston, Texas 77030  
(Tel: +1 713 567 2712; Email: geema@mri.tamc.uccs.edu)

Colin G. Crton, Ph.D., Moderator

(Received 29 March 2007; accepted for publication 30 March 2007; published 17 April 2007)



Zaidi



Mawlawi

### Advantages of PET-MR

*Simultaneous; therefore identical physiological conditions*

*Faster than sequential scanning; no motion*

*Better soft-tissue contrast resolution*

*No radiation dose (MR), supporting sequential studies, pediatrics, etc.*

*MR can be used with a variety of contrast agents for functional imaging*

*MRS can provide biochemical content matched to metabolism (PET)*

*Increased functionality: MR, fMR, MRS, and PET*

### Disadvantages

*Expensive*

*Slow*

*Difficult to derive attenuation coefficients for PET attenuation correction*

*Diagnostic utility for whole-body imaging not clear*



Copie Interdite

Eur J Nucl Med Mol Imaging (2010) 37:980–990  
DOI 10.1007/s00259-009-1378-4

SPECIAL CONTRIBUTION

**Integrating imaging modalities: what makes sense  
from a workflow perspective?**

Gustav K. von Schulthess • Cyrill Burger

Copie Interdite





Integrated imaging in the form of PET/CT has virtually replaced PET alone, and integrated SPECT/CT is replacing SPECT in many institutions. Recently, there has been a surging interest in PET/MR and some experimental systems are available. In principle any combination of cross-sectional imaging devices into an integrated system is of interest. However, the added value of the integrated system depends on several factors. The following factors support imaging system integration:

1. The devices which are combined in an integrated system complement each other technically and/or clinically.
2. The inherent match of the acquired images has substantial advantages over software fusion of images acquired on separate devices.
3. The clinical workflow is improved by system integration.
4. The integrated system has financial advantages over separate systems, i.e. it is more cost-effective.

**Table 2** Cost assumptions for the analysed cross-sectional imaging systems in euros

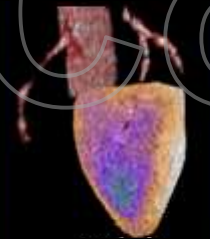
Amortization and interest										
Depreciation time of equipment	Years	8								
Depreciation time of building	Years	20								
Annual interest rate		0.05								
Investment costs	PET	SPECT	CT	MR	PET/CT	SPECT/CT	PET/MR	PET/MR	PET(/CT)/MR	
							Full integrat.	Same room	Different room	
Scanner	1,200,000	500,000	1,000,000	1,300,000	1,600,000	1,200,000	2,800,000	2,400,000	2,800,000	
Building	1,400,000	1,200,000	1,400,000	1,400,000	1,500,000	1,400,000	1,500,000	1,500,000	2,400,000	
Fixed costs										
Scanner amortization	150,000	62,500	125,000	162,500	200,000	150,000	350,000	300,000	350,000	
Capital cost	30,000	12,500	25,000	32,500	40,000	30,000	70,000	60,000	70,000	
Building amortization	70,000	60,000	70,000	70,000	75,000	70,000	75,000	75,000	120,000	
Building capital cost	35,000	30,000	35,000	35,000	37,500	35,000	37,500	37,500	60,000	
Service contract	90,000	40,000	110,000	90,000	150,000	130,000	170,000	170,000	170,000	
Upgrades	30,000	20,000	30,000	30,000	40,000	40,000	50,000	50,000	50,000	
Infrastructural cost	35,000	30,000	35,000	35,000	40,000	40,000	55,000	55,000	55,000	
Total fixed costs	440,000	255,000	430,000	455,000	582,500	495,000	807,500	747,500	875,000	
Operating hours/year	1,920	1,920	2,400	2,400	1,920	1,920	1,920	1,920	1,920	
Total fixed costs per scanning min	3.82	2.21	2.99	3.16	+	5.06	4.30	7.01	>	6.49

# Imagerie cardiaque intégrée

La combinaison de différentes modalités permet un diagnostic individualisé pour un traitement personnalisé

## Modalité unique

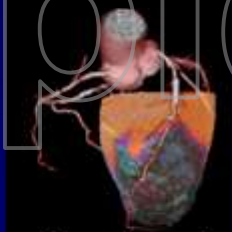
TEMP/CAC



corrélation

sans contraste

TDM seule



sang

## Modalité double

TEMP/TDM



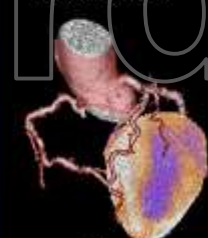
perfusion

TEP/TDM



viabilité

IRMc/TDM



perfusion

## Modalités multiples

NUC/TDM



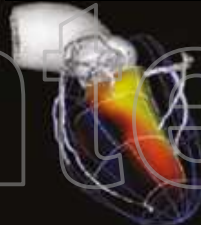
imag. mol.

NUC/TDM



imag. mol.

Echo/TDM

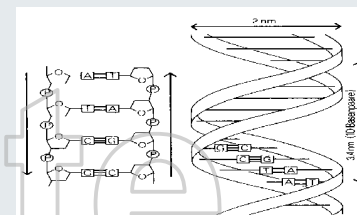
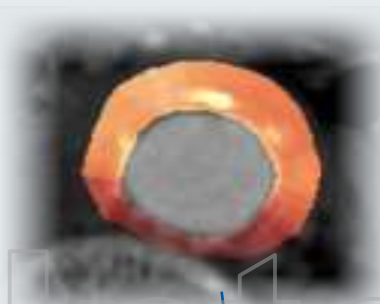
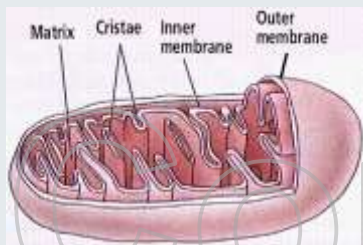


# Imagerie cardiaque moléculaire

Imagerie de plaque

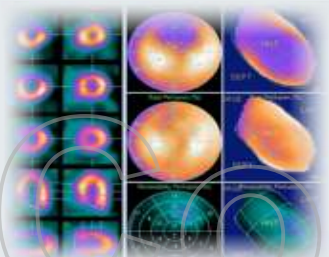
Métabolisme

Expression des gènes



Imagerie de perfusion

Angiogenèse

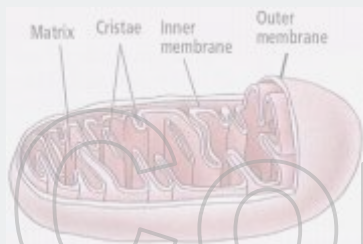




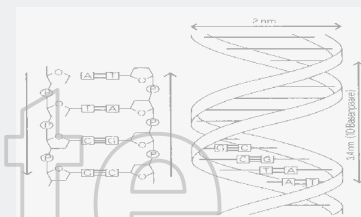
# Imagerie cardiaque moléculaire

Imagerie de plaque

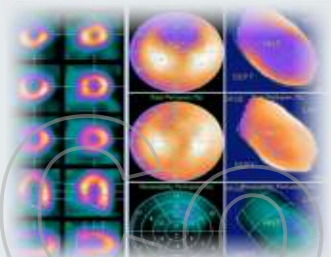
Métabolisme



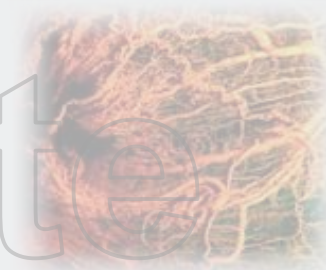
Expression des gènes



Imagerie de perfusion



Angiogenèse

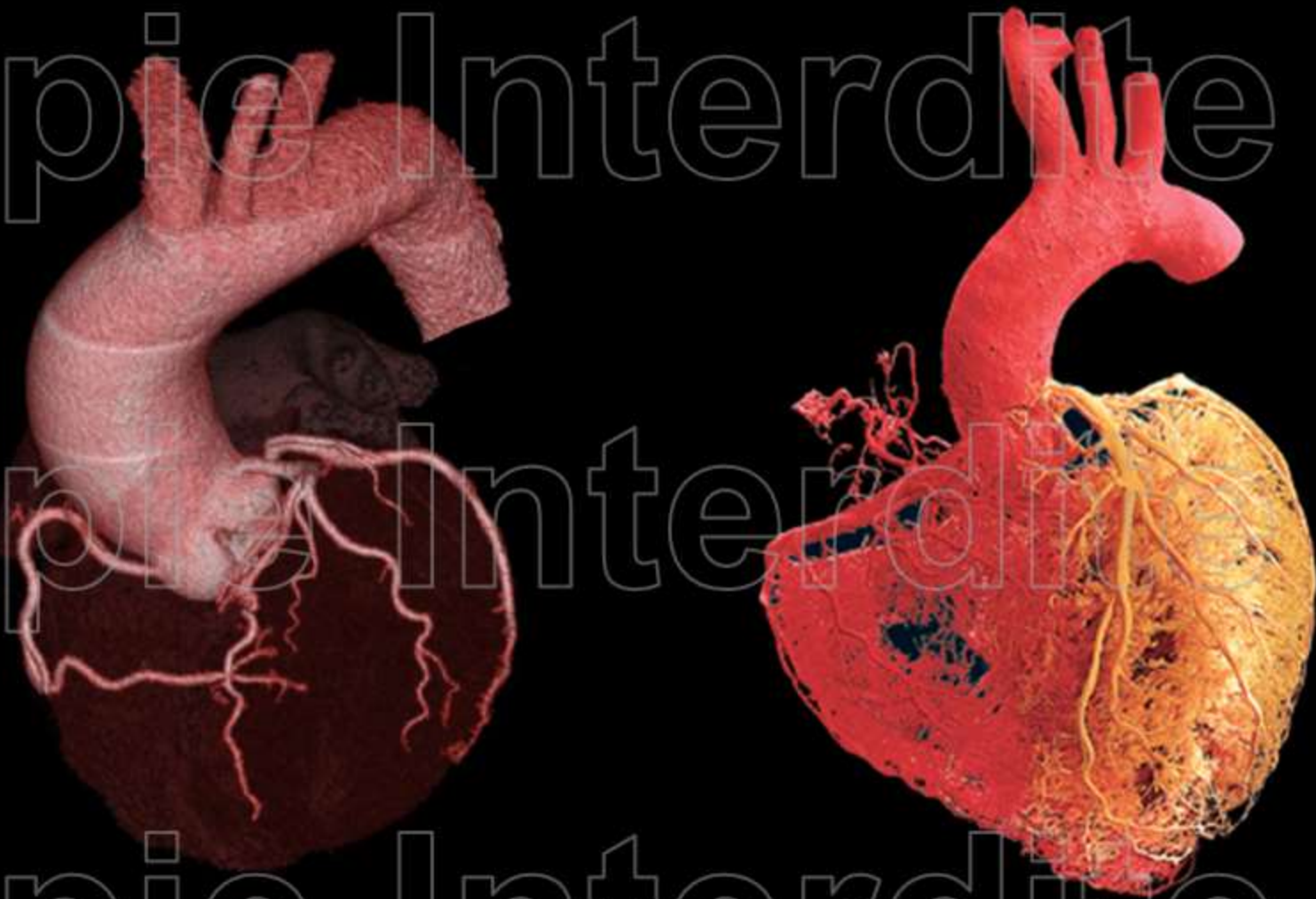




Copie Interdite

Copie Interdite

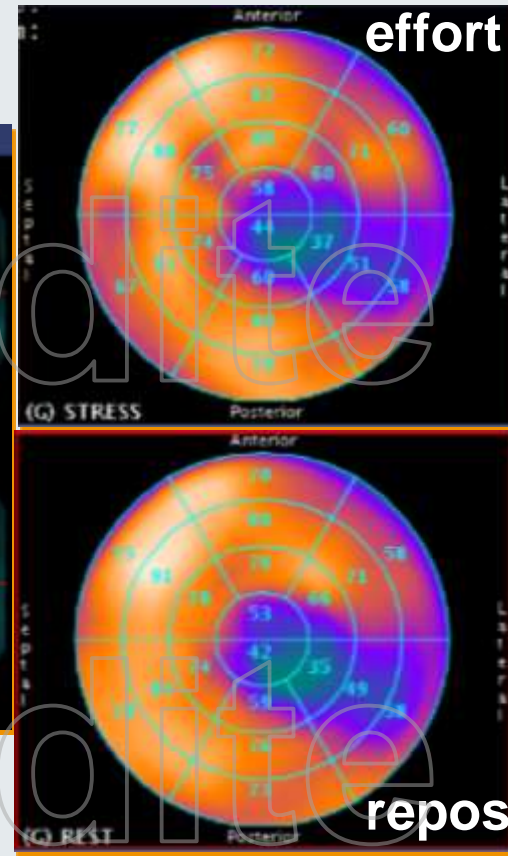
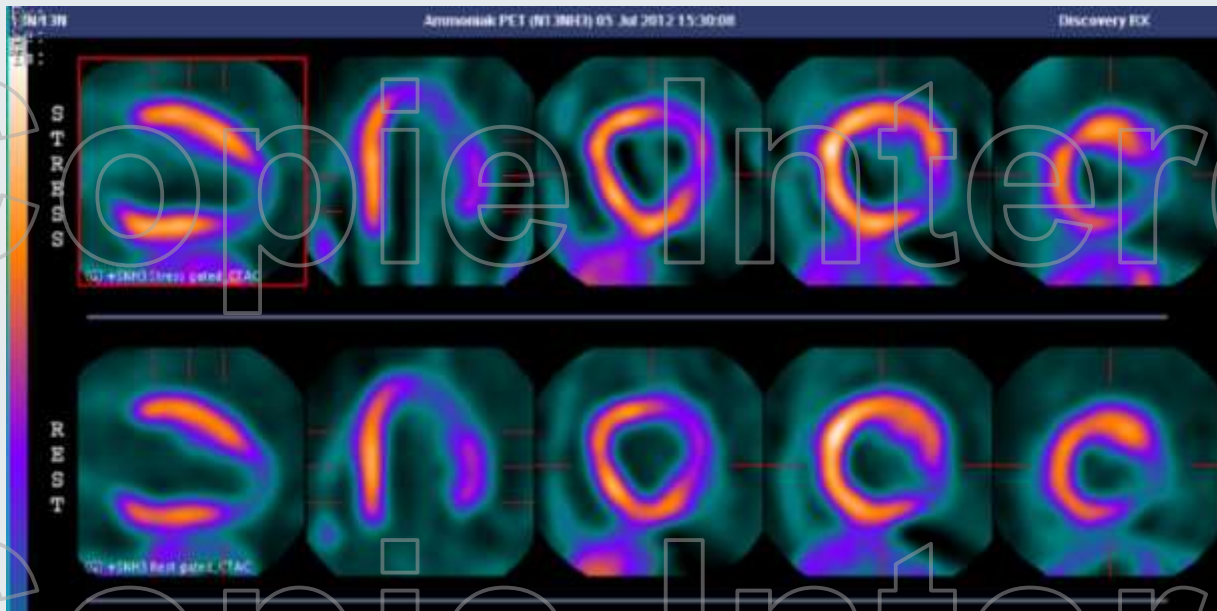
Copie Interdite



UniversityHospital  
Zurich

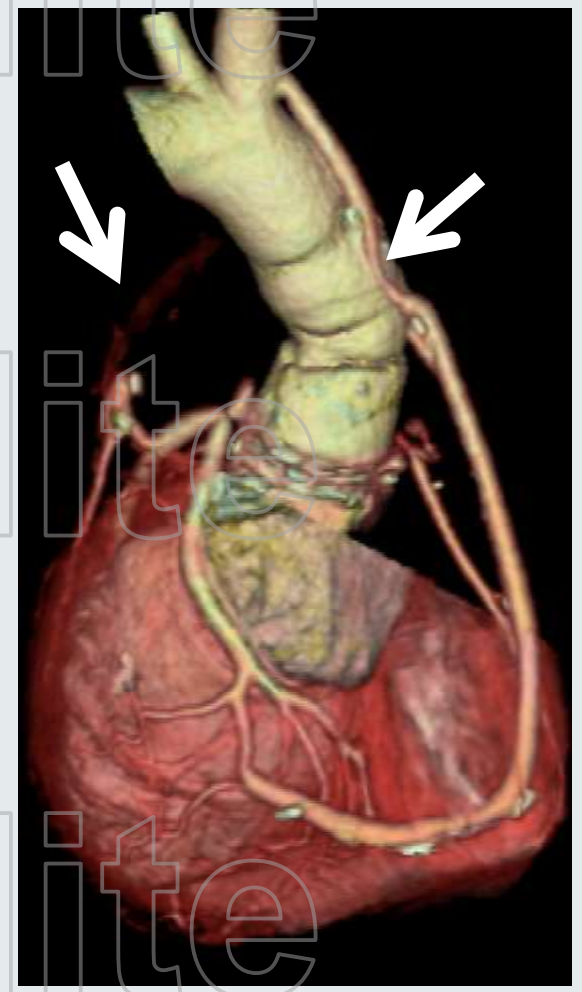
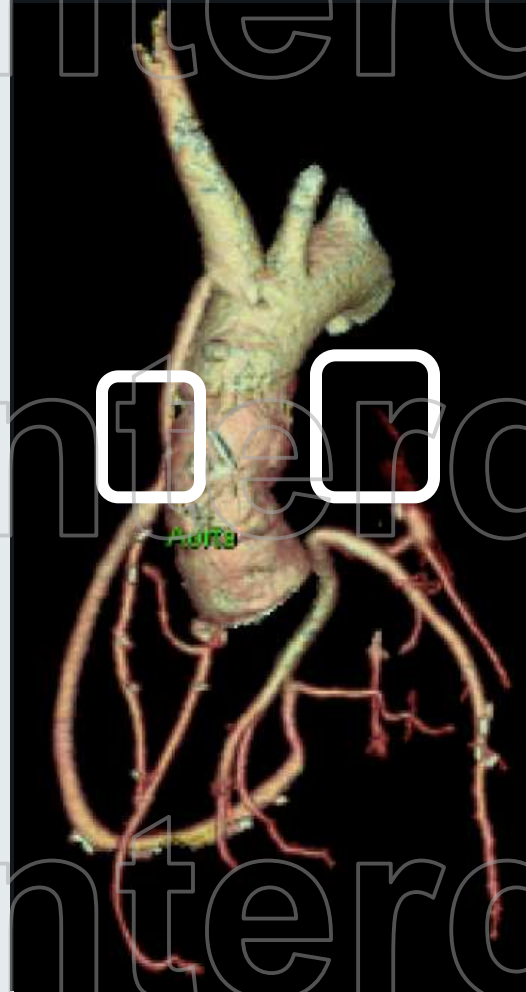
# TEP cardiaque

TEP de perfusion au  $^{13}\text{N-NH}_3$





1 an

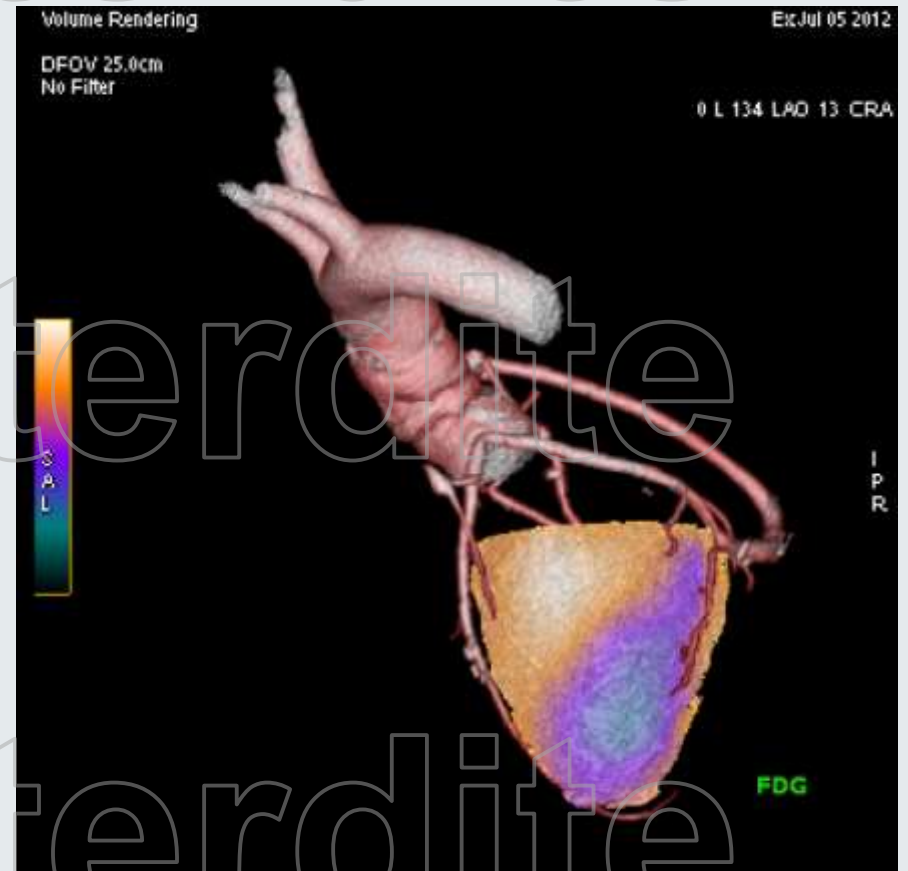




# TEP cardiaque



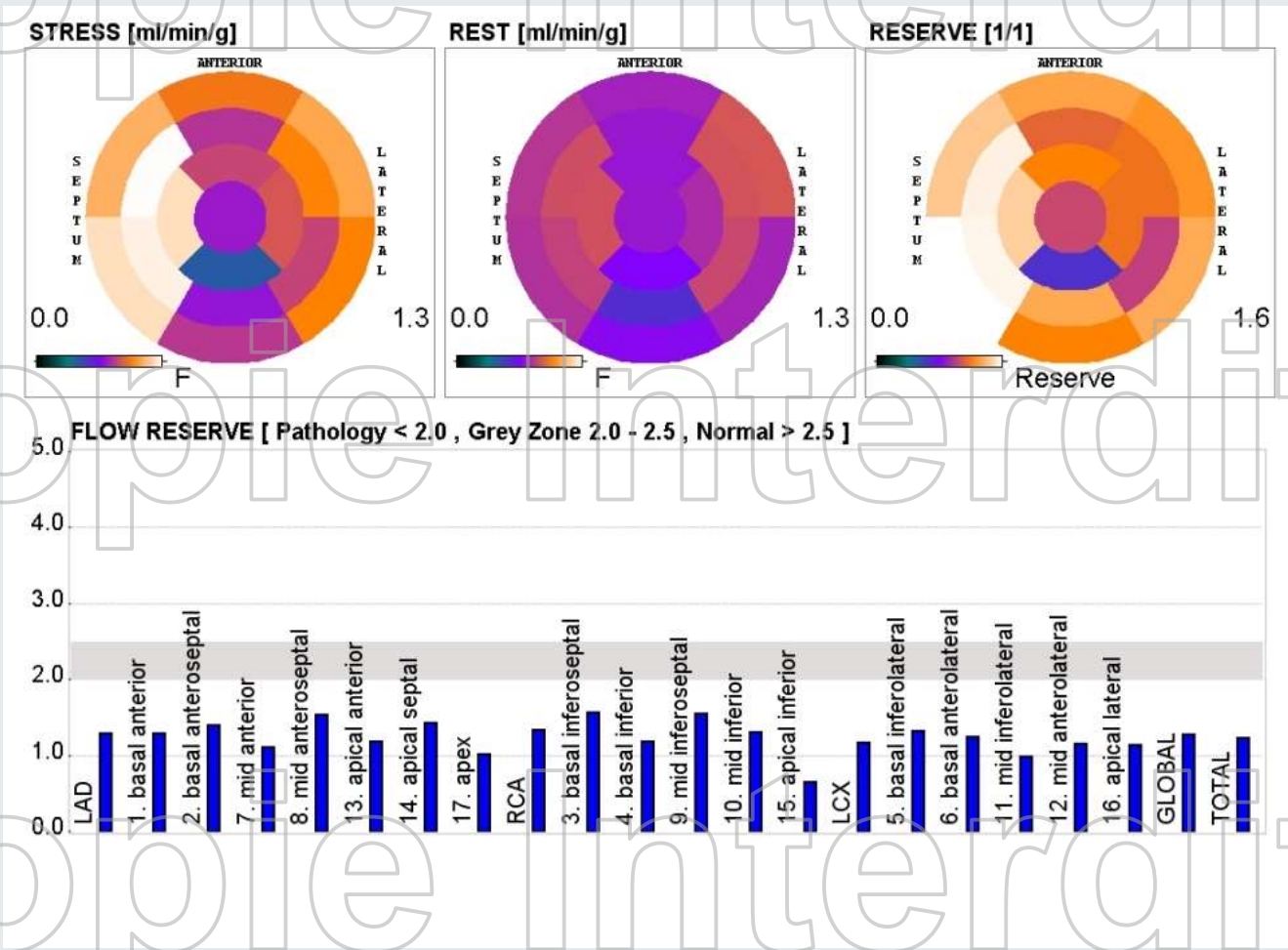
Défaut de perfusion fixe



Pas de viabilité par FDG



# TEP cardiaque: réserve de flux coronarien

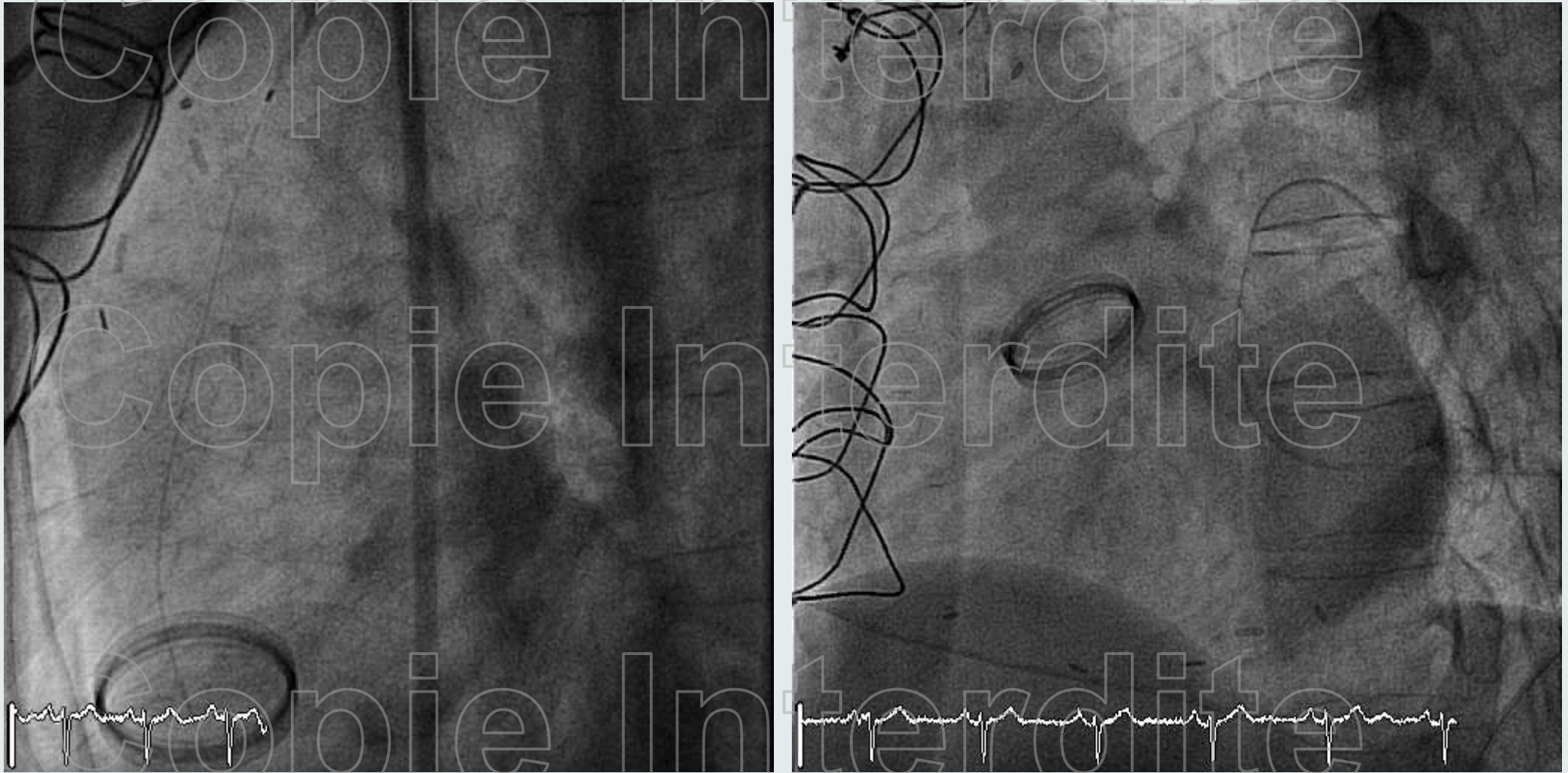




UniversityHospital  
Zurich

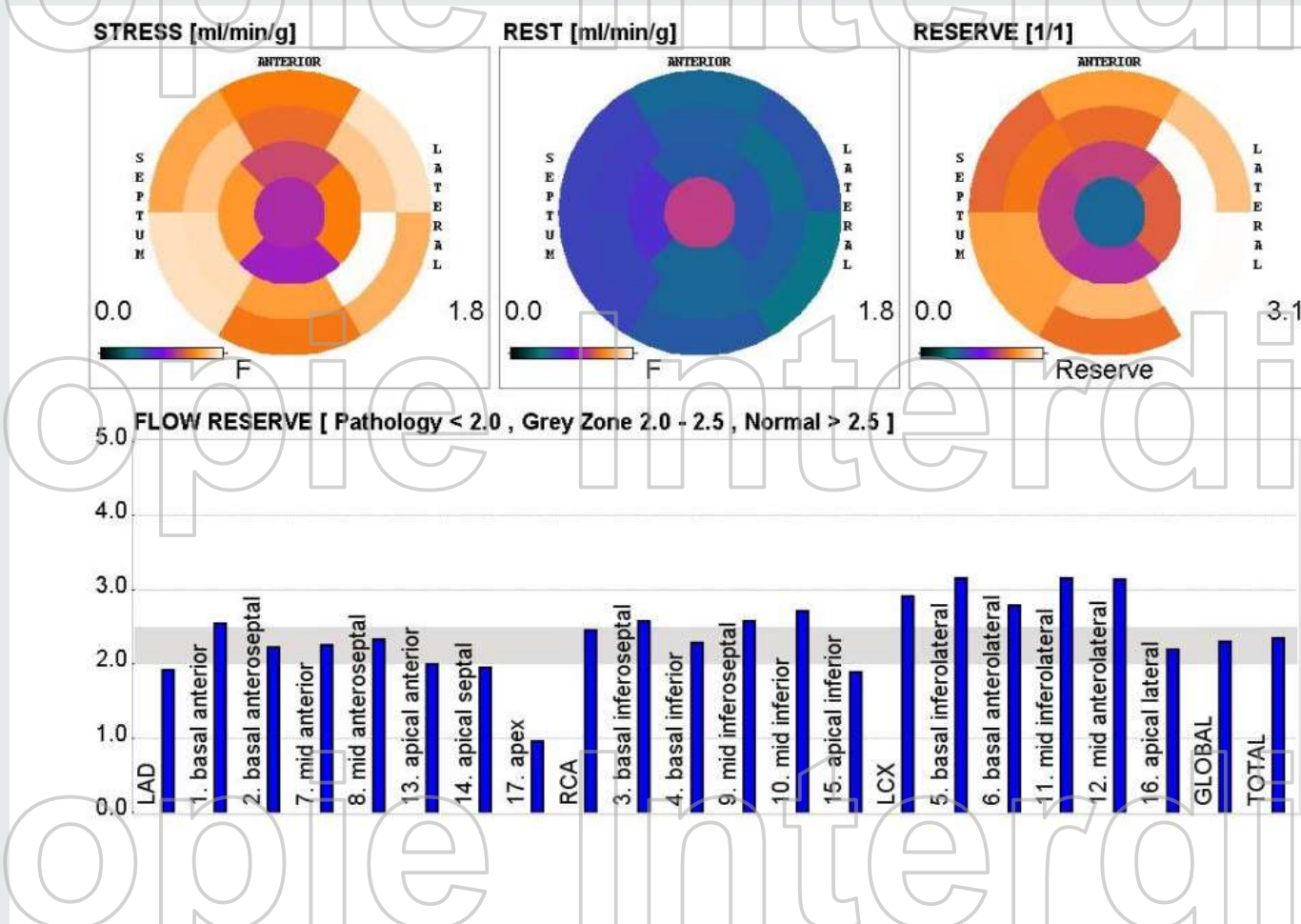
**Stent à élution 4,0 x 33 mm**





**UniversityHospital  
Zurich**

# TEP cardiaque: réserve de flux coronarien



← Après



# TEMP/TDM

effort uniquement

# Angiographie



University Hospital  
Zurich 2,6 mSv

>10 mSv

TEMP/T  
effort uniquemer



EUROPEAN  
SOCIETY OF  
CARDIOLOGY®

ISSN 0195-668X (Print)  
ISSN 1522-9645 (Online)

Volume 30 Number 6 March 2009

MEMBER OF THE ESC JOURNAL FAMILY

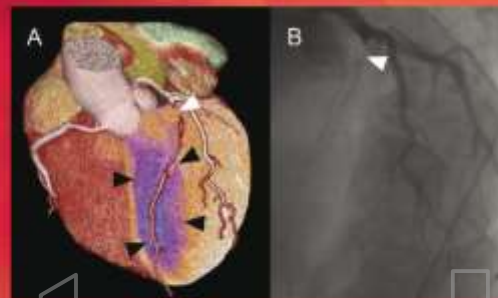
# European Heart Journal

Journal of the European Society of Cardiology

Bleeding and clinical outcome  
Survival trends in CHF  
Predicting sudden death after AMI  
Smoking cessation  
Cryoablation for atrial fibrillation

Editor-in-Chief: Thomas F. Lüscher

Deputy Editors: Josep Brugada  
Bernard J. Geirsh  
Ulrich Landmesser  
Frank T. Ruschitzka  
Patrick W. Serruys



Low-dose computed tomography coronary angiography and myocardial perfusion imaging: cardiac hybrid imaging below 3mSv. See figure legend on page 644.



University of  
Zurich

2

OXFORD JOURNALS  
OXFORD UNIVERSITY PRESS

www.eurheartj.org

OXFORD OPEN

mSv

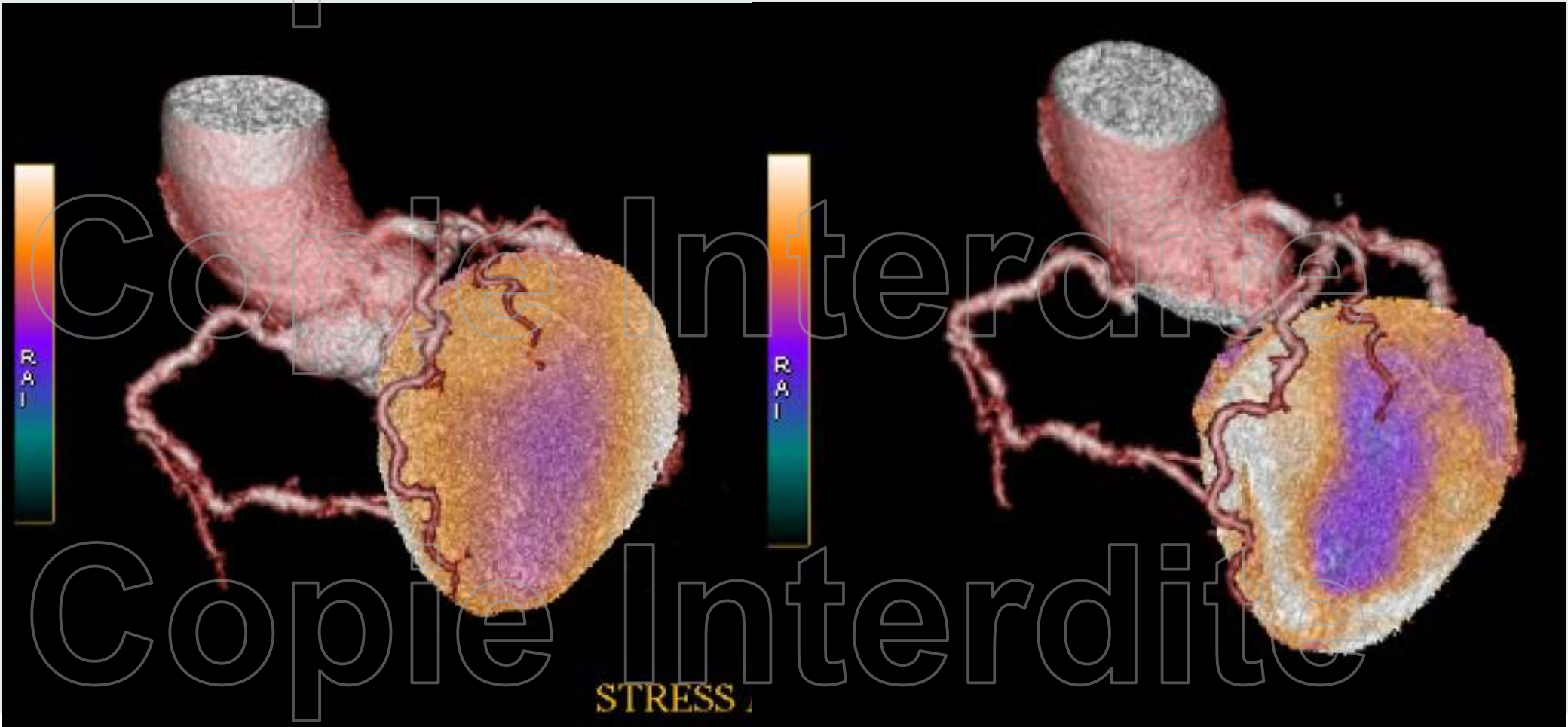
TEMP/TDM d'effort

3,5 mSv



IRMc/TDM

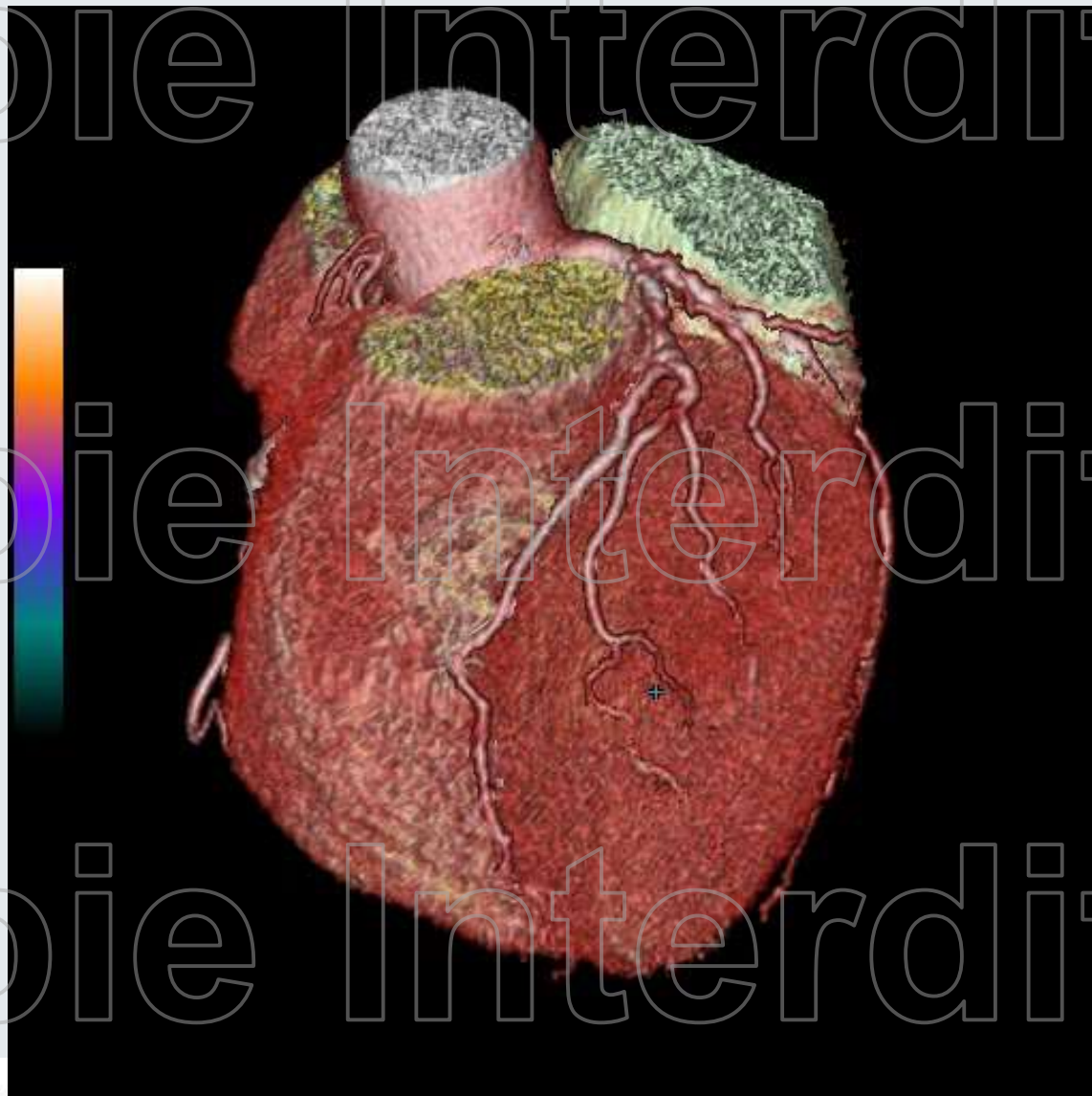
1 mSv



Remember: MR is NMR = **Nuclear** Magnetic Resonance



# IRMc/TDM





EUROPEAN  
SOCIETY OF  
CARDIOLOGY®

ISSN 0195-668X (Print)  
ISSN 1522-9645 (Online)

Volume 32 Number 21 November 2011

MEMBER OF THE ESC JOURNAL FAMILY

# European Heart Journal

Journal of the European Society of Cardiology

Plasma renin and sudden cardiac death

Apolipoprotein B in hyperlipidaemia

Adverse vascular effects of  
diesel exhaust inhalation

Heart health when life is satisfying

Driving restrictions and ICDs

Editor in Chief: Thomas F. Lüscher

Deputy Editors: Bernard J. Geisb  
Gerhard Hindricks  
Ulf Landmesser  
Frank Ruschitzka  
William Wijns

Senior Consulting Editors: John A. Camm

Diederick E. Grobbee

Tiny Jaarsma

Gerald Maurer

Michael Piper

Detlev W. Süssner

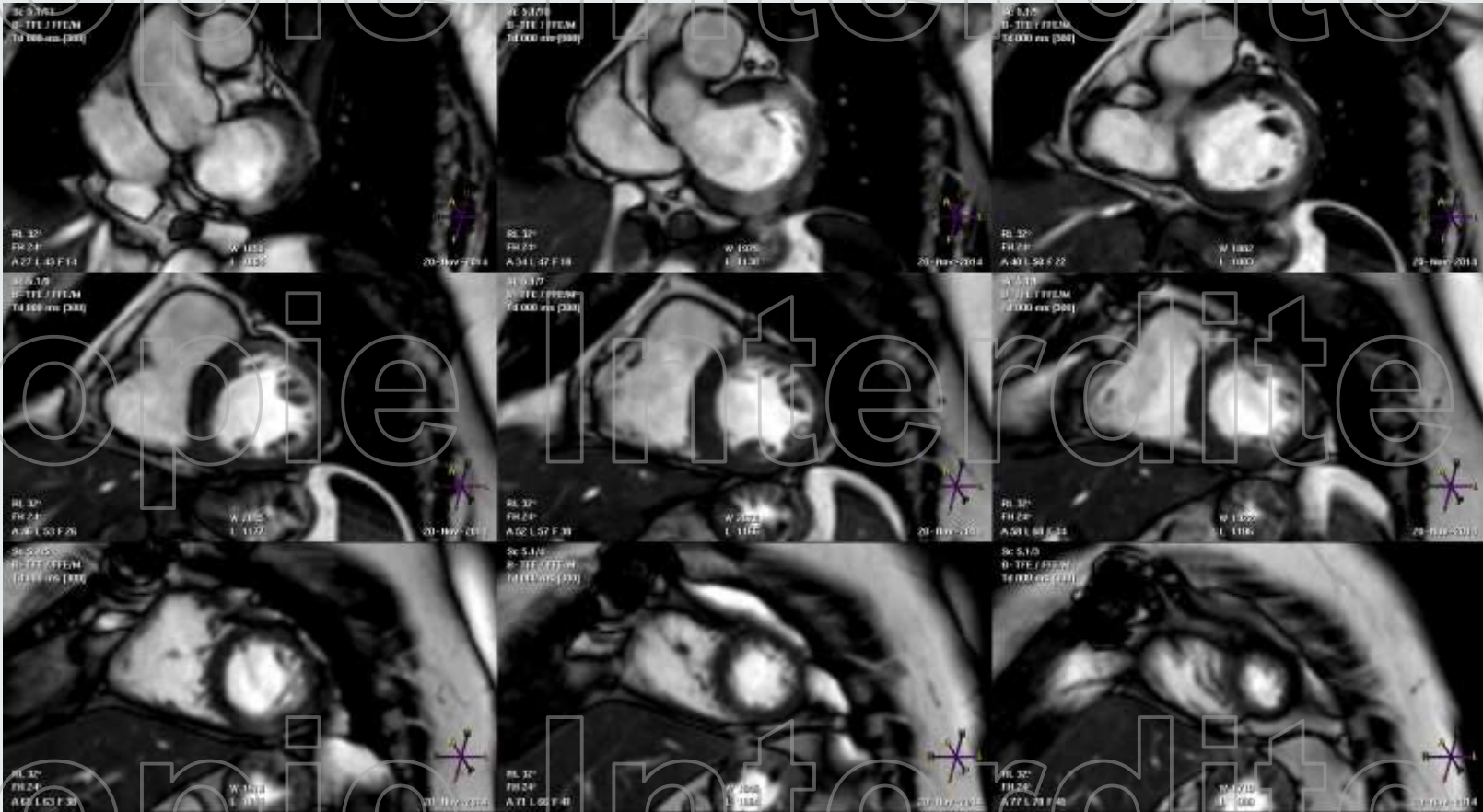


Hybrid cardiac magnetic resonance/computed tomographic imaging: first fusion of three-dimensional magnetic resonance perfusion and low-dose coronary computed tomographic angiography. See figure legend on page 2733.



UniversitätsSpital  
Zürich

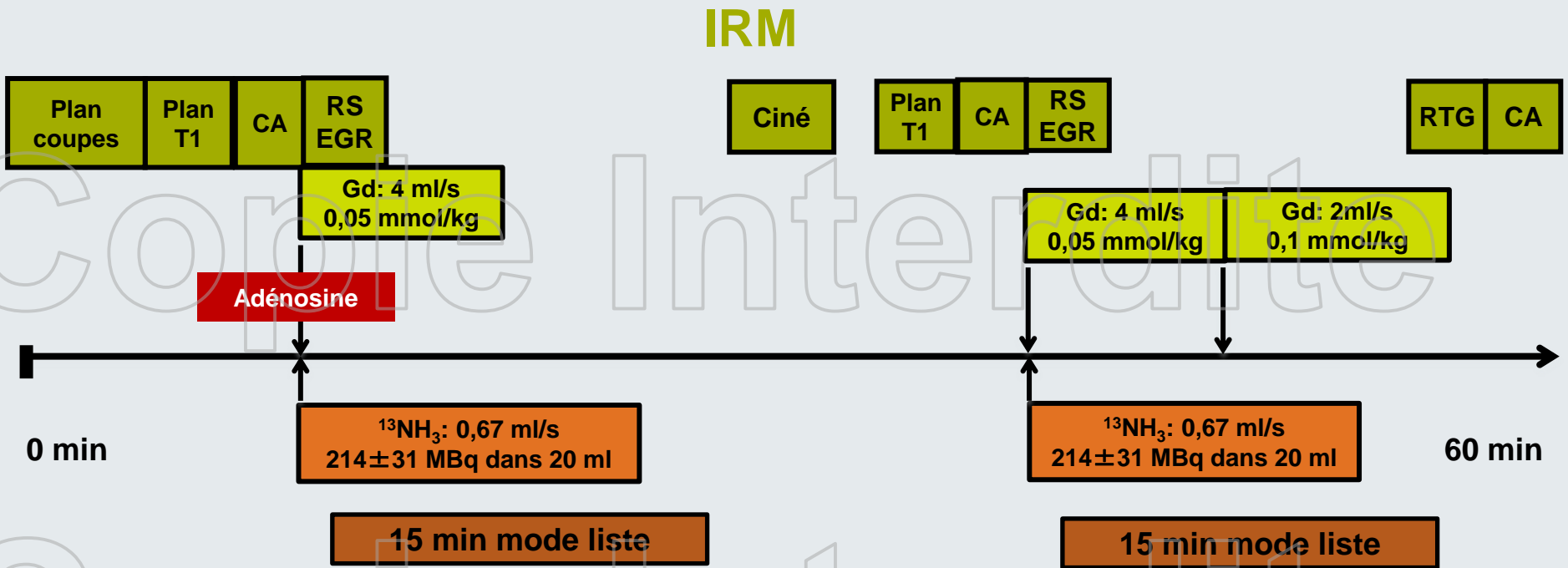
# IRM cardiaque



Fonction



# Protocole de recherche: hybride TEP/IRM de perfusion myocardique avec co-injection

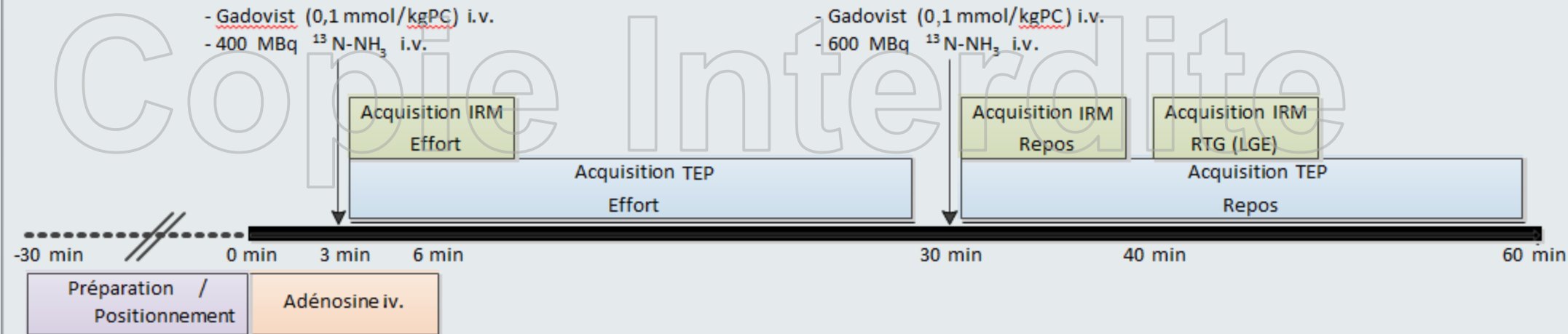


**TEP**



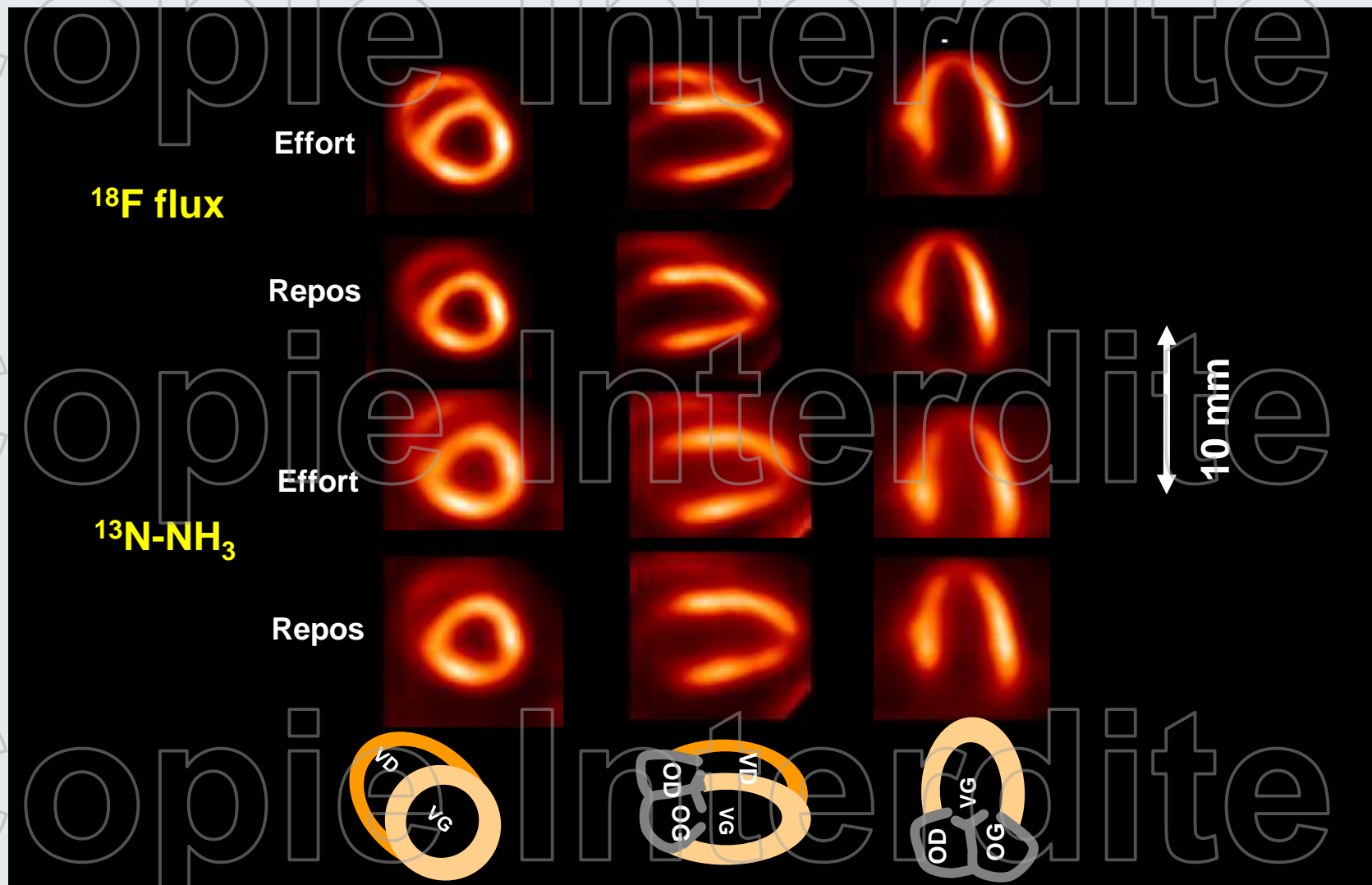


# Protocole de recherche: imagerie cardiaque de Zurich





# Traceur de flux $^{18}\text{F}$ vs. $^{13}\text{N-NH}_3$ (cœur de rat)





# TEP cardiaque

## Nouveaux traceurs de flux $^{18}\text{F}$ $^{18}\text{F}$ - Flurpiridaz

REVIEW ARTICLE

Properties of an ideal PET perfusion tracer:  
New PET tracer cases and data

Jamshid Maddahi, MD, FACC

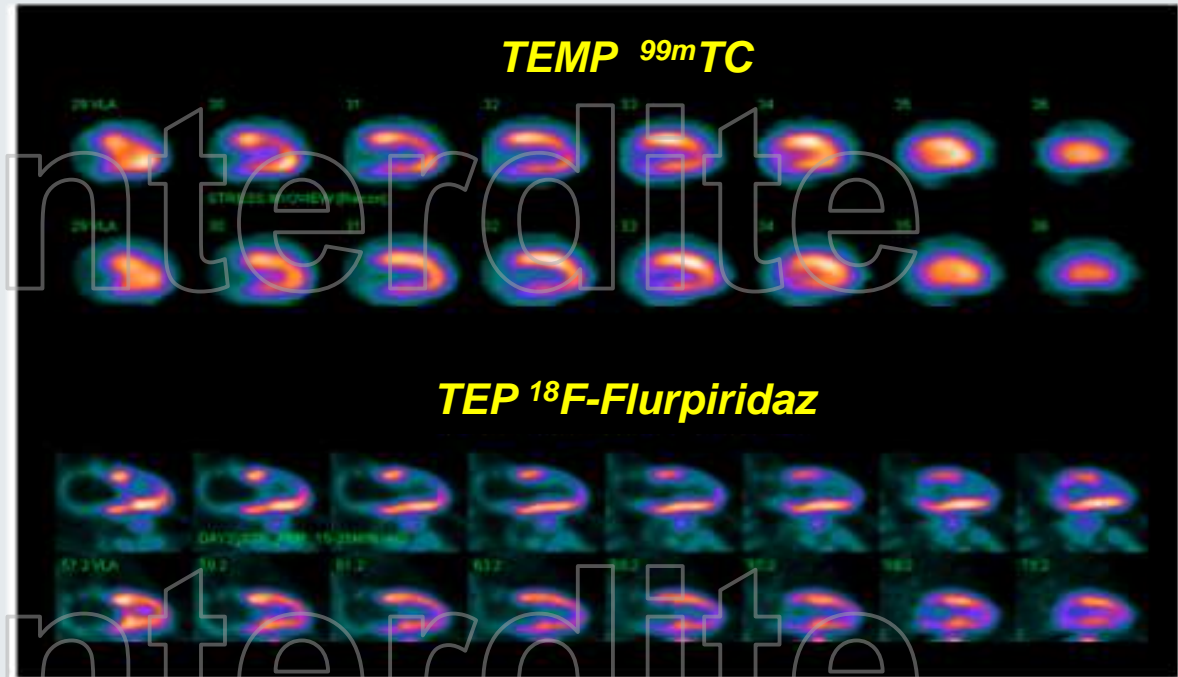
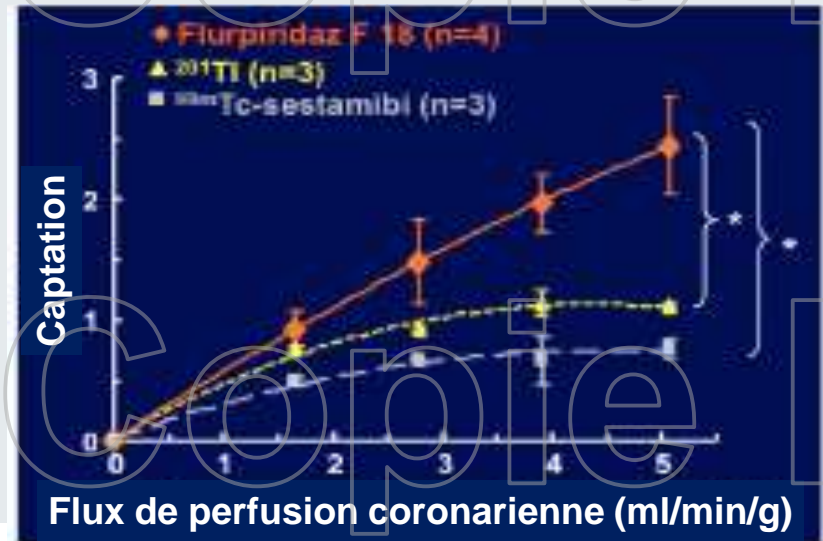
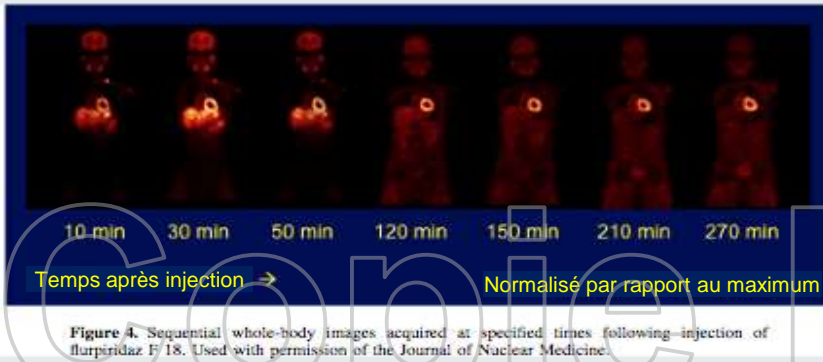


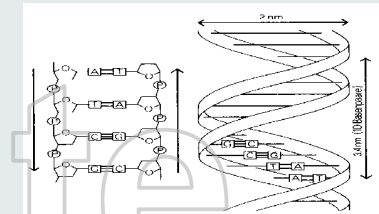
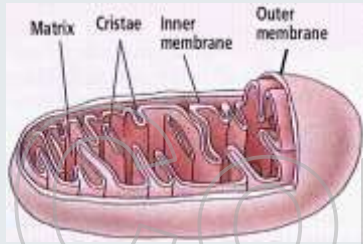
Figure 6. Long-axis stress images acquired in a patient with known coronary artery disease with  $^{99\text{m}}\text{Tc}$  SPECT (upper 2 rows) and flurpiridaz F 18 PET (lower 2 rows). Note the higher resolution and more obvious anterior and anteroseptal defects in the PET images. *Tc*, technetium; *SPECT*, single-photon emission computerized tomography; *PET*, positron emission tomography.

# Imagerie cardiaque moléculaire

Imagerie de plaque

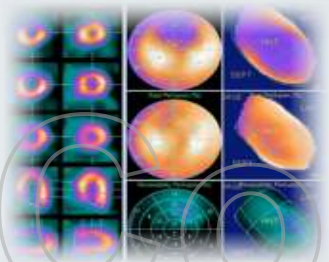
Métabolisme

Expression des gènes



Imagerie de perfusion

Angiogenèse

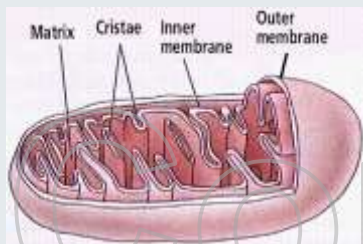




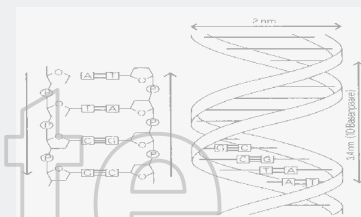
# Imagerie cardiaque moléculaire

Imagerie de plaque

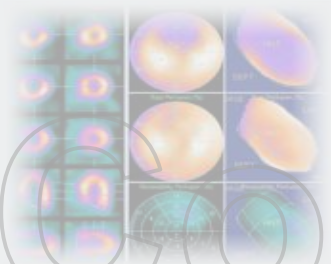
Métabolisme



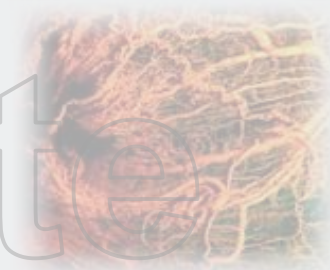
Expression des gènes



Imagerie de perfusion



Angiogenèse



# Viabilité myocardique

## Soutien à la décision clinique

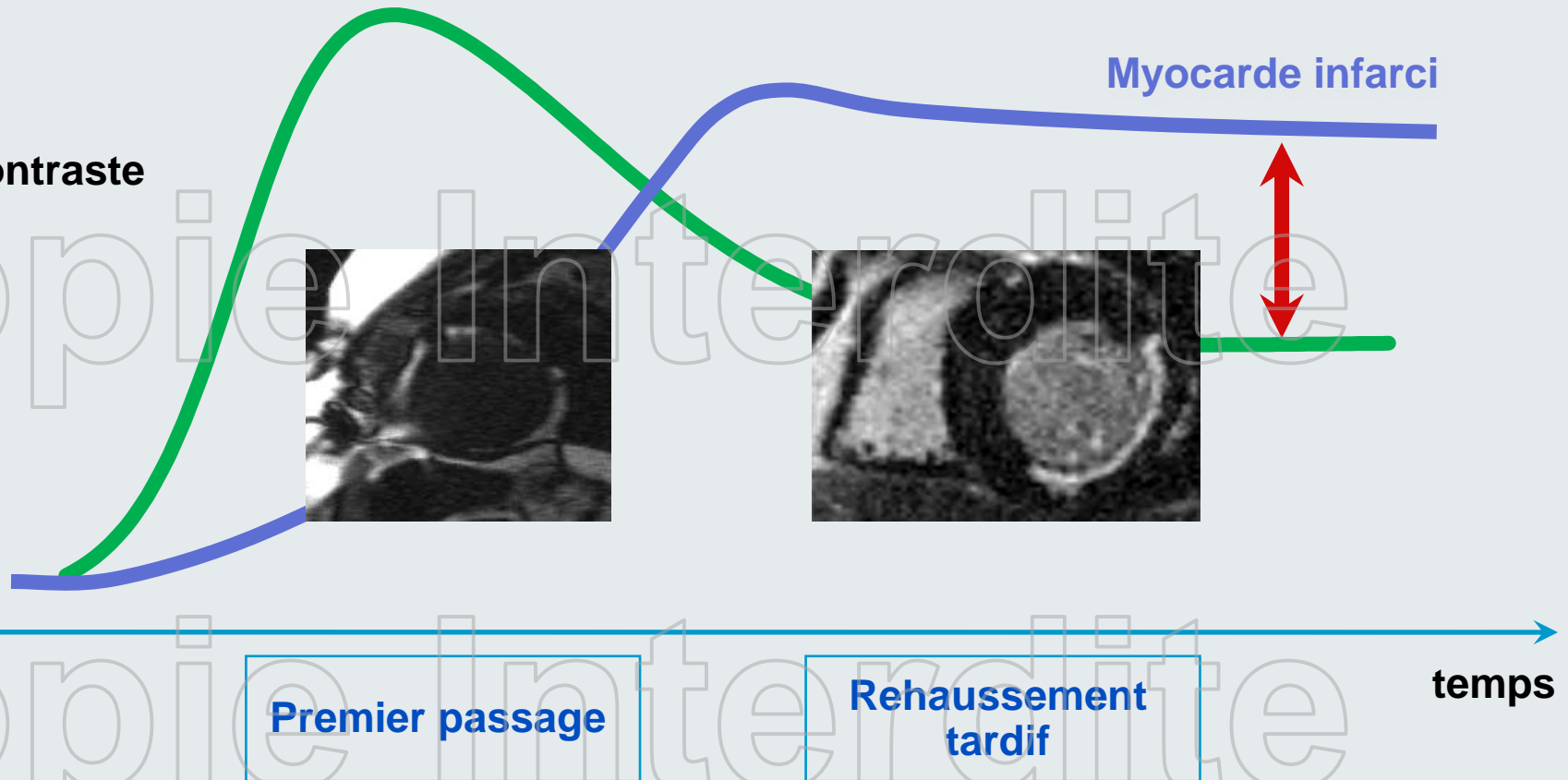


# Viabilité myocardique (rehaussement tardif au gadolinium)

Myocarde normal

Myocarde infarcté

Injection de contraste

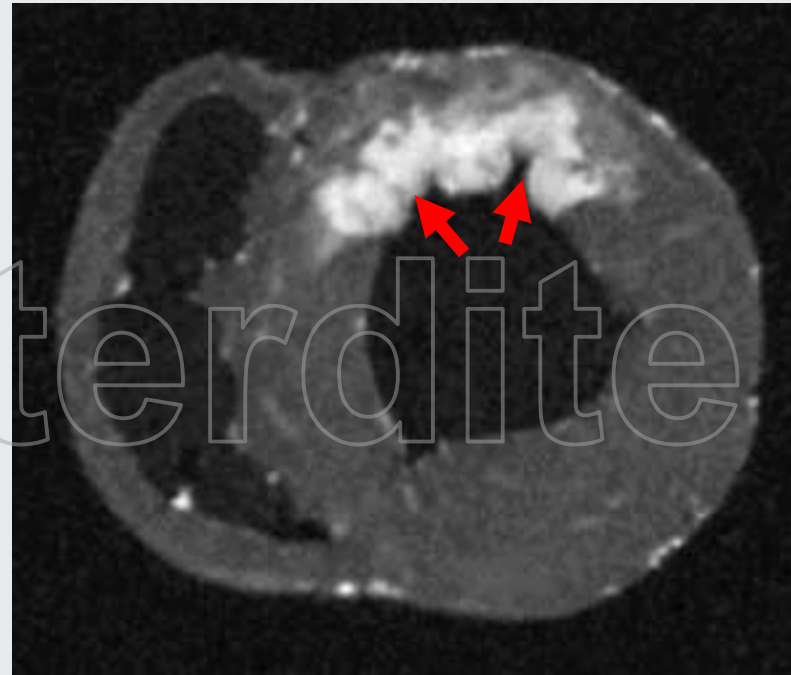


# Viabilité myocardique

(rehaussement tardif au gadolinium RTG)



CTT



IRM

Comparaison ex vivo du CTT et de l'IRM au gadolinium pour le myocarde infarcté

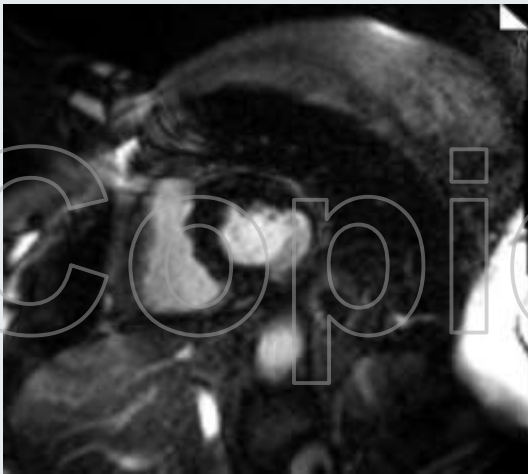




# Viabilité myocardique

(rehaussement tardif au gadolinium et FDG)

RTG



FUSION



FDG

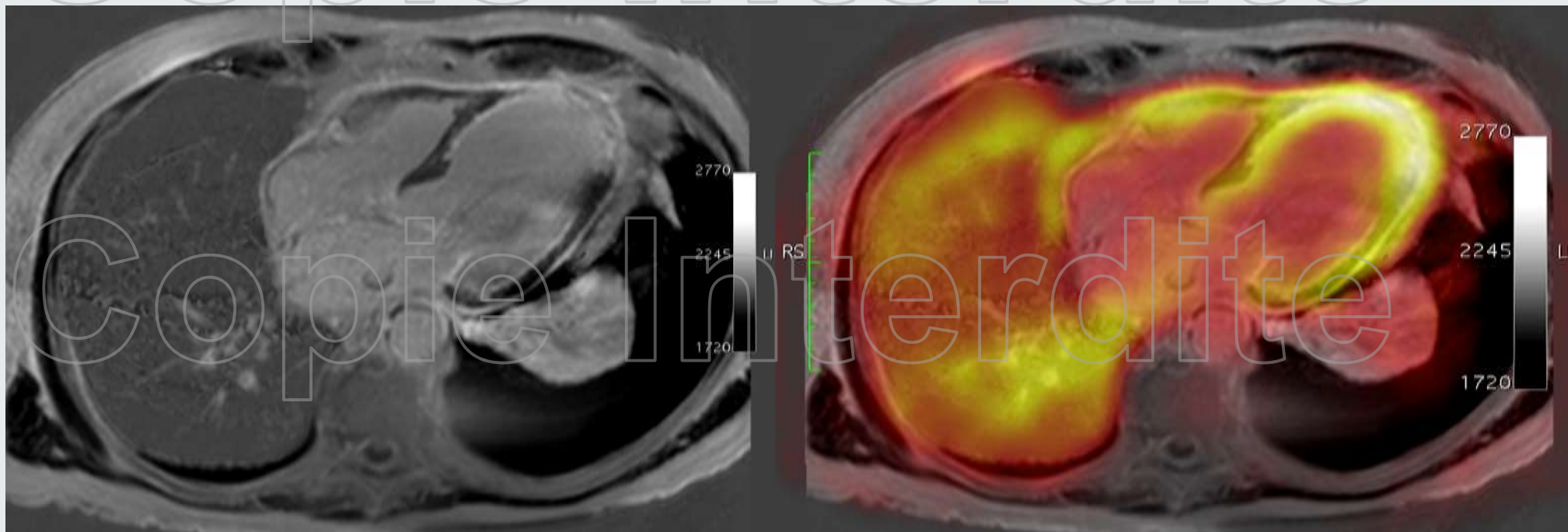


Le gadolinium et le FDG montrent un résultat concordant





# Viabilité cardiaque post-infarctus du myocarde

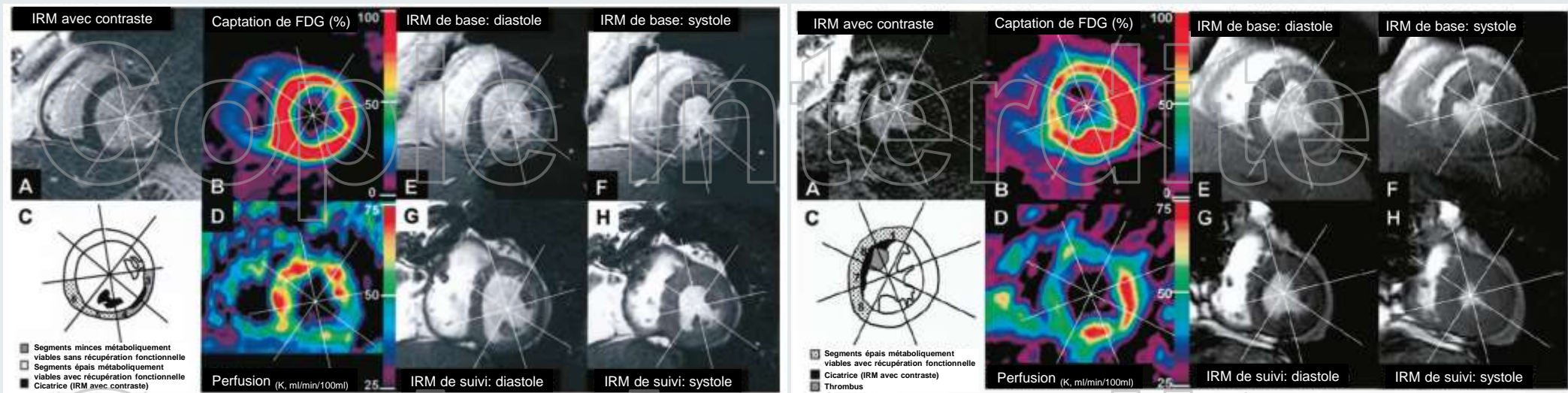


Le gadolinium et le FDG ne concordent pas



# Caractérisation du myocarde dysfonctionnel par TEP et IRM

Relation avec le devenir fonctionnel après revascularisation



## Characterization of Dysfunctional Myocardium by Positron Emission Tomography and Magnetic Resonance Relation to Functional Outcome After Revascularization

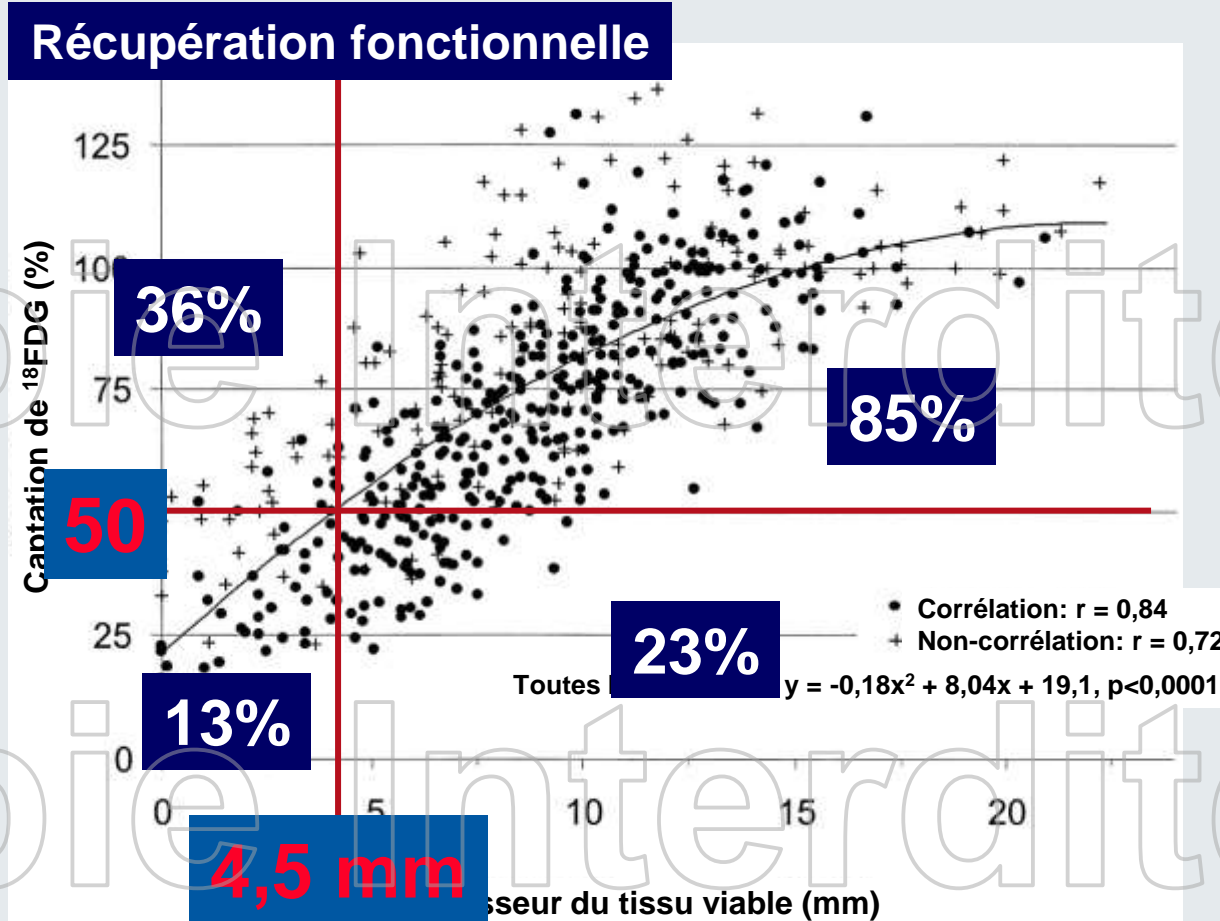
Patrick R. Knuesel, MD; Daniel Nanz, PhD; Christophe Wyss, MD; Martin Buechi, MD;  
Philip A. Kaufmann, MD; Gustav K. von Schulthess, MD, PhD;  
Thomas F. Lüscher, MD; Juerg Schwitler, MD

*Circulation*    September 2, 2003



UniversityHospital  
Zurich

# Caractérisation du myocarde dysfonctionnel par TEP et IRM



# Exemple de cas: sarcoïdose ?

**Patiente de 69 ans avec  
Cardiomyopathie d'origine inconnue.**

**Echo: FEVG 37%.  
Hypertension pulmonaire.  
Pas d'antécédent coronarien.**

**IRMc il y a 3 ans: FEVG 53%.  
Fibrose basale inféro-latérale.**

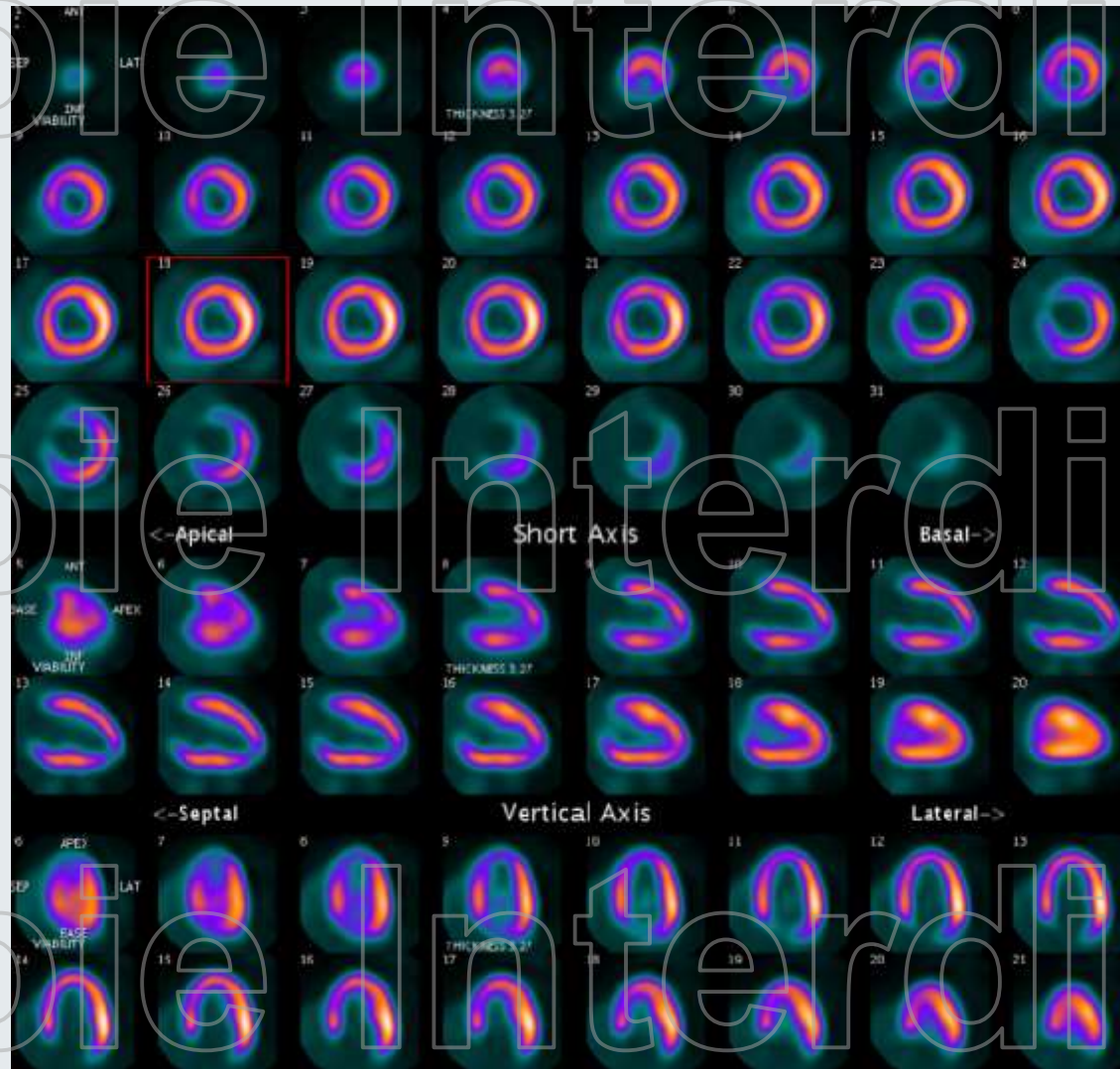
**Question: sarcoïdose cardiaque?**



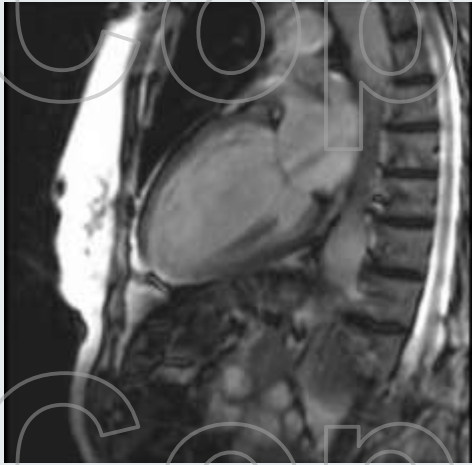


# Sarcoïdose ?

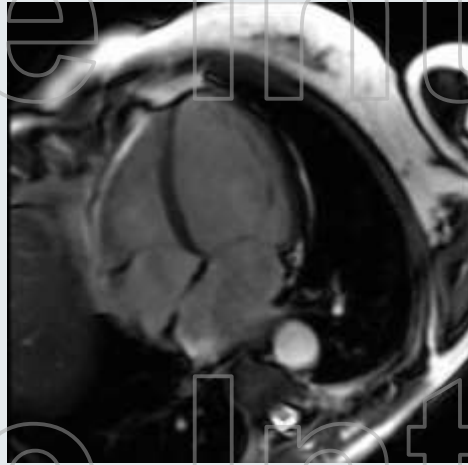
TEP au FDG



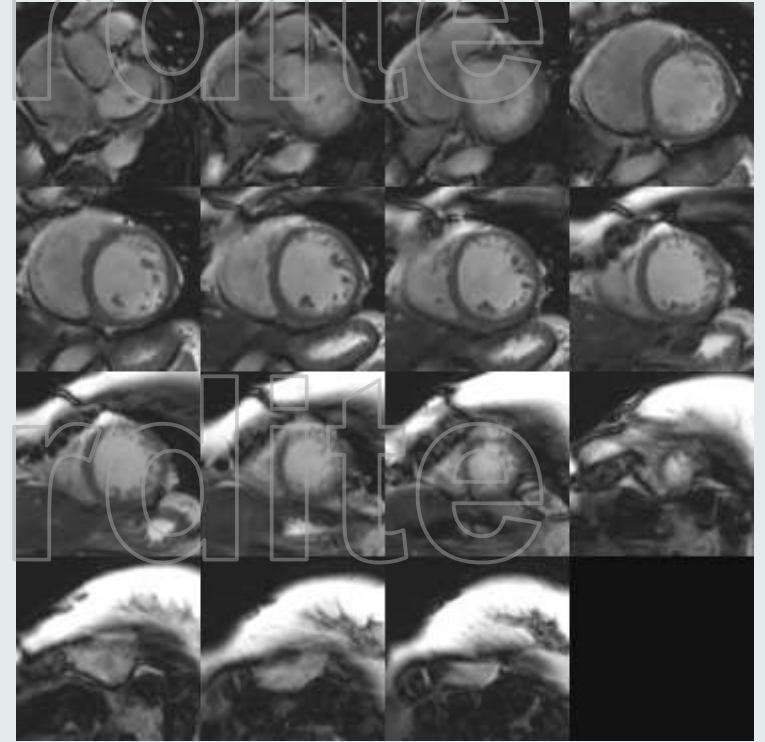
# Sarcoïdose ?



IRMc ciné  
Vue 2 cavités



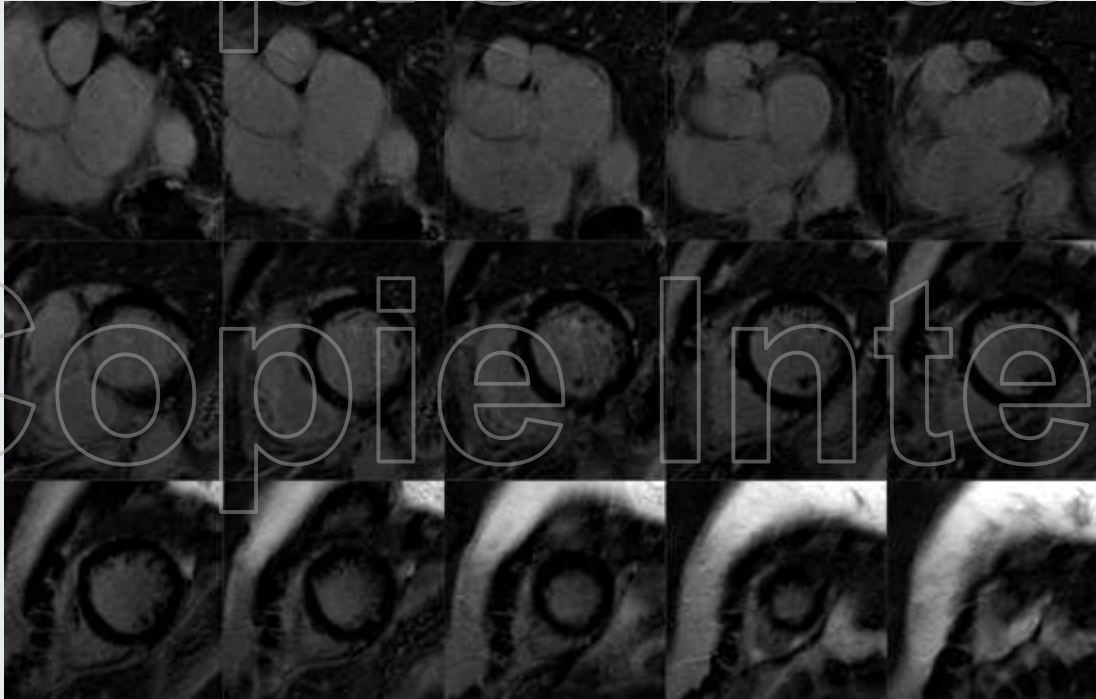
IRMc ciné  
Vue 4 cavités



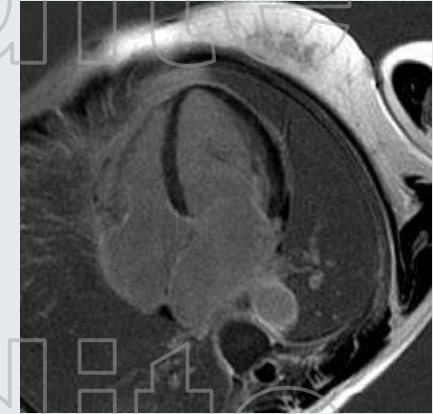
IRMc ciné  
Plan transversal



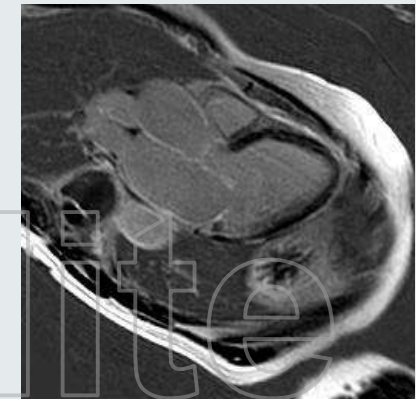
# Sarcoïdose ?



RTG plan transversal



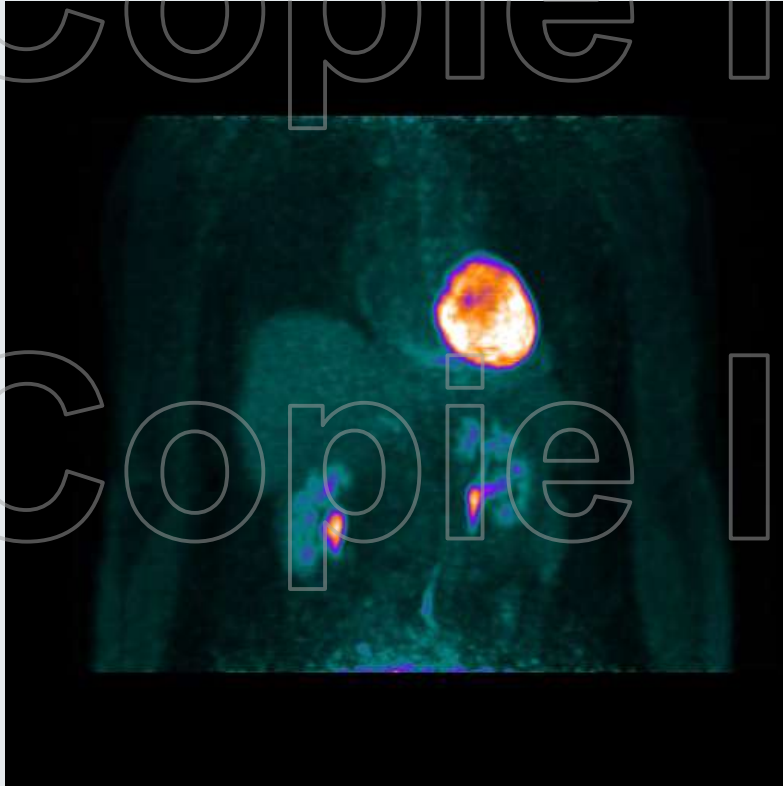
RTG  
Vue 4 cavités



RTG  
Vue 3 cavités



# Sarcoïdose ?



TEP au FDG



Fusion TEP/IRM





# Sarcoïdose ?

## Conclusion:

Ventricule gauche dilaté,  
FEVG modérément réduite (44%),  
hypokinésie diffuse.

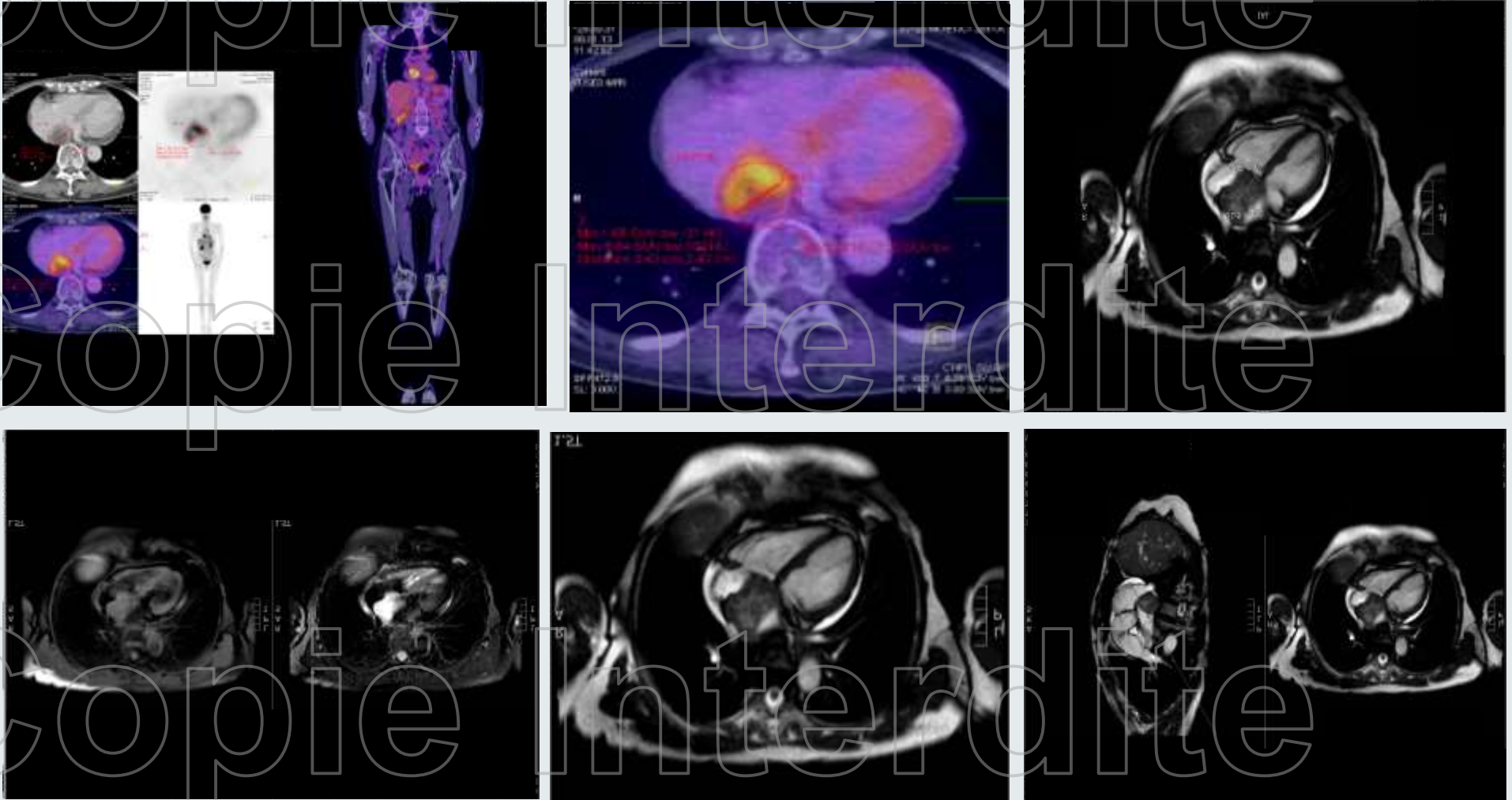
Fibrose sous-endocardique inféro-latérale.

Captation diffuse de FDG.

→ Biopsie myocardique recommandée



# Tumeurs cardiaques



# Tumeurs cardiaques

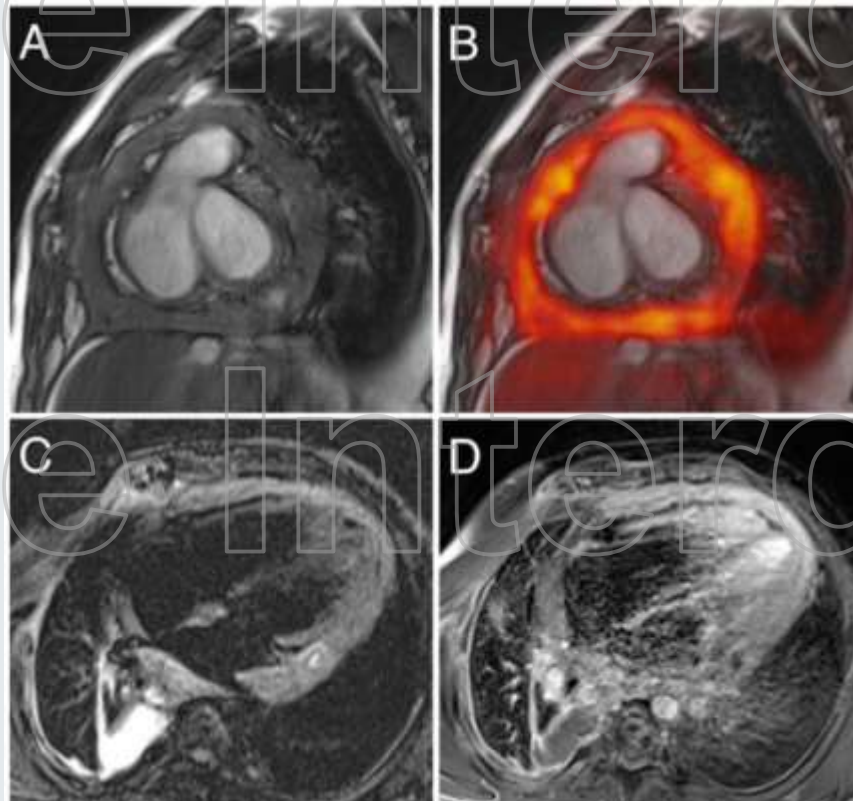
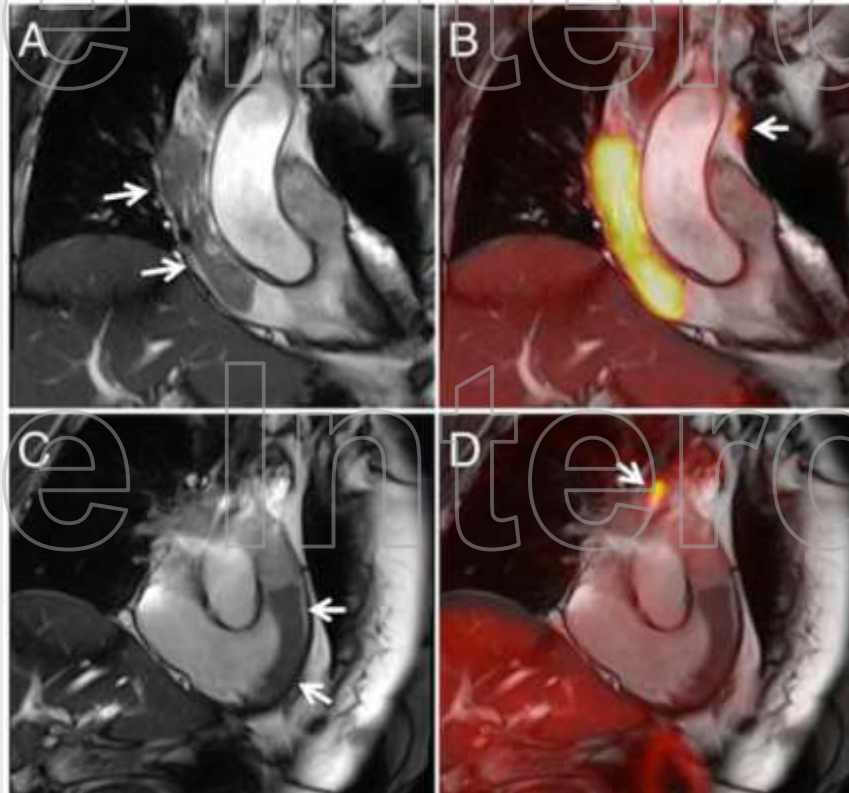


Image IRM (A) d'un patient avec une récurrence locale d'un **sarcome d'Ewing** cardiaque présentant une infiltration péricardique massive avec une captation intense de FDG (B). Les images en pondération T2 démontrent une hyperintensité des masses tumorales (C) et les images en pondération T1 après contraste indiquent un rehaussement significatif. Cette étude a initialement été publiée dans le JNM (Nensa F et al. Integrated 18F-FDG-PET/MRI in the assessment of cardiac masses: A pilot study. J Nucl Med. 2015;56(2):255-60). © Society of Nuclear Medicine and Molecular Imaging, Inc. [24] Reproduit avec permission.

# Tumeurs cardiaques

Cancer du sein



Cancer anal

La première rangée (A et B) présente des images d'une patiente avec un antécédent de cancer du sein et la seconde rangée (C et D) des images d'un patient avec un cancer anal. Chez les deux patients, de larges masses intra-cavitaires ont été initialement découvertes à l'échographie cardiaque. La colonne de gauche (A et C; flèches) montre les images IRM de larges masses tubulaires dans la veine cave supérieure et l'oreillette droite (A) ainsi que dans la chambre de chasse du ventricule droit (C). La colonne de droite (B et D) présente la fusion des images d'IRM et TEP, démontrant clairement une captation de FDG comme preuve de malignité chez la patiente avec un cancer du sein (B) et une masse bénigne (pas de captation de FDG dans la masse de la chambre de chasse) chez le patient avec un cancer anal. Cependant, l'inspection approfondie des images de TEP a révélé des métastases dans les ganglions lymphatiques des deux patients (B et D ; flèches). Cette étude a





# CONCLUSIONS

- L'imagerie multi-modalités fournit des outils très attractifs pour la recherche translationnelle.
- L'examen hybride TEP/IRM peut corrélérer les résultats diagnostiques des deux modalités et réduire l'incertitude.
- L'analyse quantitative des données apportera un raffinement supplémentaire aux paramètres déjà établis (FRC (CRF), VCS (SUV) etc.).
- L'imagerie moléculaire représente une opportunité d'évaluer des cibles thérapeutiques importantes, telles que la stabilité de la plaque coronarienne et le remodelage ventriculaire.
- De nombreux traceurs moléculaires sont en cours de développement, mais nécessitent l'approbation des autorités et une validation clinique.
- La TEP/IRM a un grand potentiel pour les applications cardiaques, mais a besoin d'être exploré plus en profondeur.



## Cardiac PET/MR: Big footprint—small step?

Philipp A Kaufmann, MD, FESC, FSCCT\*

\* Department of Nuclear Medicine, University Hospital Zurich, Zurich, Switzerland

Received Jan 30, 2015; accepted Jan 30, 2015  
doi:10.1007/s12350-015-0089-4

## INTRODUCTION

There is probably no technical invention which has changed more within the medical world than the discovery of the x-rays by Wilhelm Conrad Röntgen in 1895 who explicitly never filed a patent in order to facilitate the widespread availability of his invention. His discovery was indeed groundbreaking, and modern medicine is unthinkable without x-rays. Although most of the many developments in the field of imaging appear to be of modest importance compared to Röntgen's invention, modern imaging seems unthinkable without the tremendous developments of the last decades. While the future of Radiology seems to be in molecular imaging based on novel tracers, the present is unimaginable without the past technical evolution which was characterized by brilliant engineers who have breathlessly shortened the time spans needed for closing technological gaps defined by an equally breathless medical community. As the footprints got bigger with the devices growing from simple gamma cameras to SPECT, PET, and finally hybrid scanners, the steps in medical imaging achieved by these advancements were of variable size. The concept of PET/CT was born in the early 1990s,<sup>1</sup> but only in 2001 the first commercial clinical PET/CT system was announced and shortly thereafter installed in our institution. For oncology imaging, the advent of PET/CT represented a breakthrough, causing PET alone to vanish in thin air. For cardiac imaging, the 4-slice technique available at that time in the integrated CT did not allow more than testing the feasibility of a modern concept for cardiac hybrid PET/CT imaging.<sup>2</sup> Before the question whether SPECT or rather PET may represent the future of nuclear myocardial perfusion imaging was ever answered,

another development has entered the clinical arena—the hybrid PET/MR scanner. Comparable to PET/CT, the way from concept to realization was long and from a technical point of view, the integration of PET into an MR was a formidable challenge with three main problems which had to be solved: First, the photomultipliers used in the classic PET scanners do not work in an environment with strong magnetic fields. A strategy to overcome this was the installation of a sequential system with PET/CT or PET scanner and an MR scanner adjacent or in two separate rooms,<sup>3</sup> joined by a table system resulting in large installation footprints. The most advanced PET/MR devices combine the PET and MR components physically in one scanner with a single gantry<sup>4</sup> which required major MR hardware rearrangements to make room for the PET and development of modern PET detectors less sensitive to the MR scanner's magnetic fields. Fully integrated systems result in smaller footprints and allow for the simultaneous acquisition of PET and MR data.

Second, surface coils needed to get best MR image quality can cause unwanted attenuation interfering with the gamma rays from PET. Finally, MR data, unlike those acquired by CT, are not readily usable for attenuation correction. Different strategies to address attenuation correction have been suggested including template- or atlas-based methods, or approaches using MR image segmentation and PET emission. Thus, tremendous intellectual efforts have been done for achieving a big technical progress which has raised high hopes for substantial steps of progress in medical imaging.

Similar to PET/CT, the main applications have been suggested for non-cardiac imaging, although cardiac applications are vividly discussed. A PubMed search with the terms "cardiac PET MR or myocardial PET MR" revealed 274 articles on January 23, 2015. A quick look reveals that much less than 10% of these articles really deal with integrated cardiac PET/MR imaging. While numerous review articles describe the great potential and the bright future perspectives of cardiac PET/MR with an important clinical role, no studies are

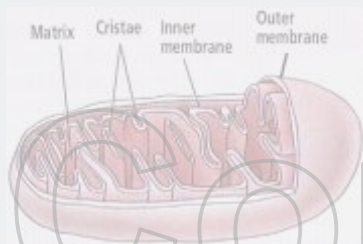
Reprint requests: Philipp A Kaufmann, MD, FESC, FSCCT, Department of Nuclear Medicine, University Hospital Zurich, Ramistr. 100 (NUK D 6), 8091 Zurich, Switzerland; [pa@nuk.uzh.ch](mailto:pa@nuk.uzh.ch)  
E-Mail: [pa@nuk.uzh.ch](mailto:pa@nuk.uzh.ch)  
J Nucl Cardiol  
1071-3581/1504-00  
Copyright © 2015 American Society of Nuclear Cardiology.



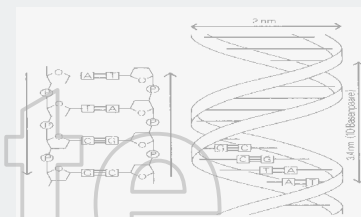
# Imagerie cardiaque moléculaire

Imagerie de plaque

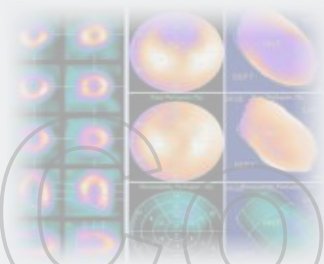
Métabolisme



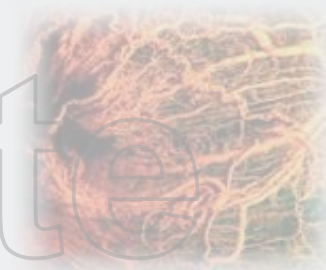
Expression des gènes



Imagerie de perfusion



Angiogenèse

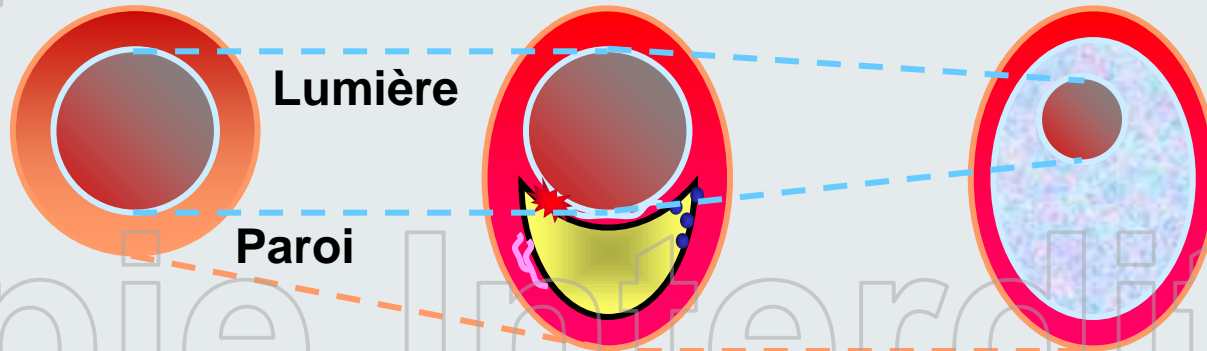


# Athérosclérose et structure vasculaire

Normale

Remodelée

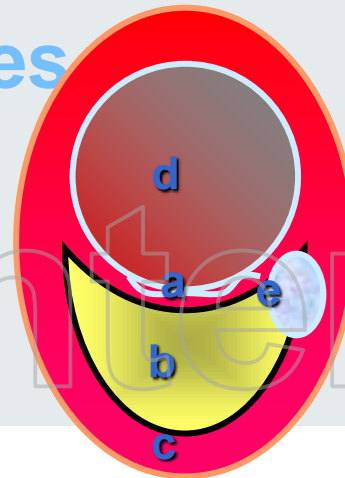
Sténotique



Plaque vulnérable

Marqueurs morphologiques

- a. Capsule fibreuse mince
- b. Volumineux noyau lipidique
- c. Remodelage vasculaire
- d. Sténose de la lumière
- e. Calcifications



IRM  
TDM  
USIV  
TCO



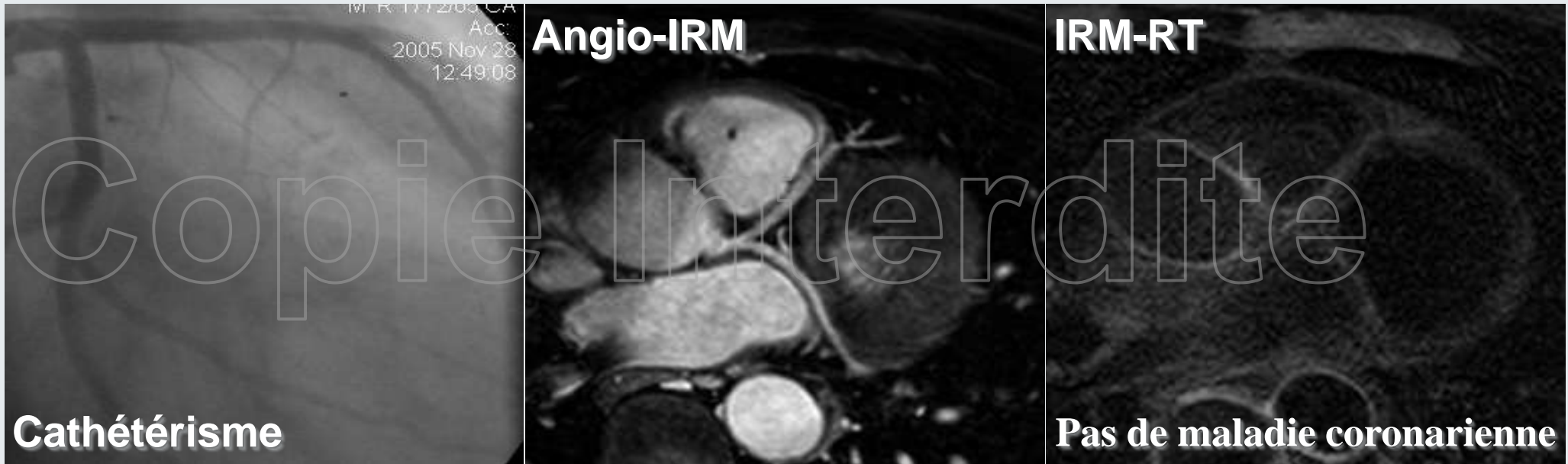
UniversityHospital  
Zurich

Remerciements à M. Wissmeyer





# Imagerie de la paroi vasculaire au Gd-DTPA (IRM)

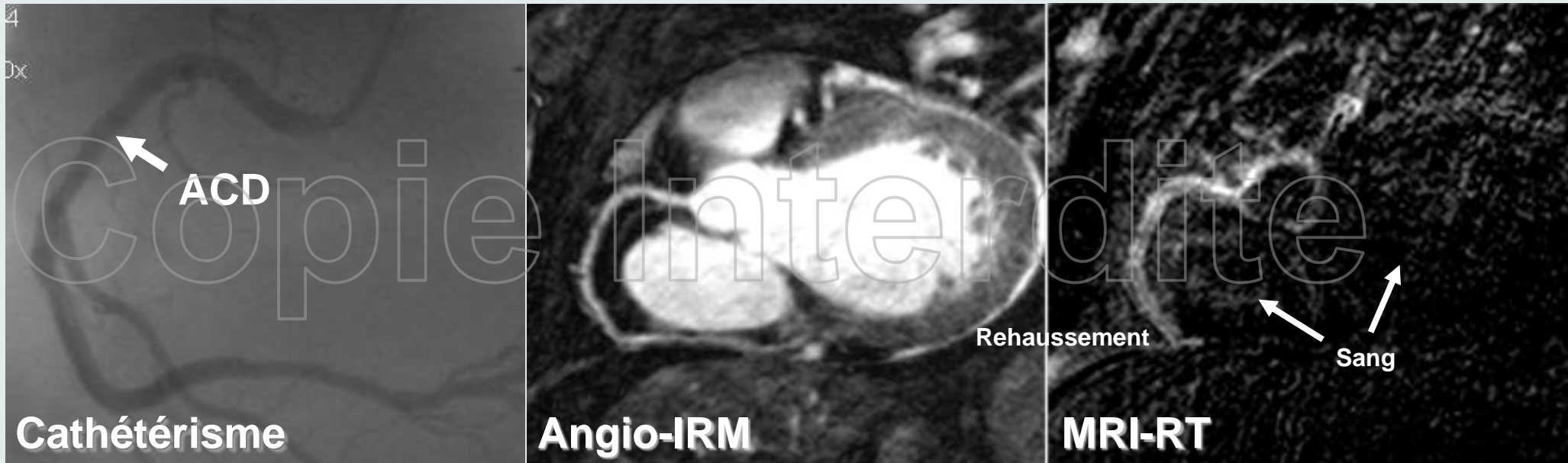


**PCR = <0,5 ml/dl**

**Pas de maladie coronarienne**



# Imagerie de la paroi vasculaire au Gd-DTPA (IRM)



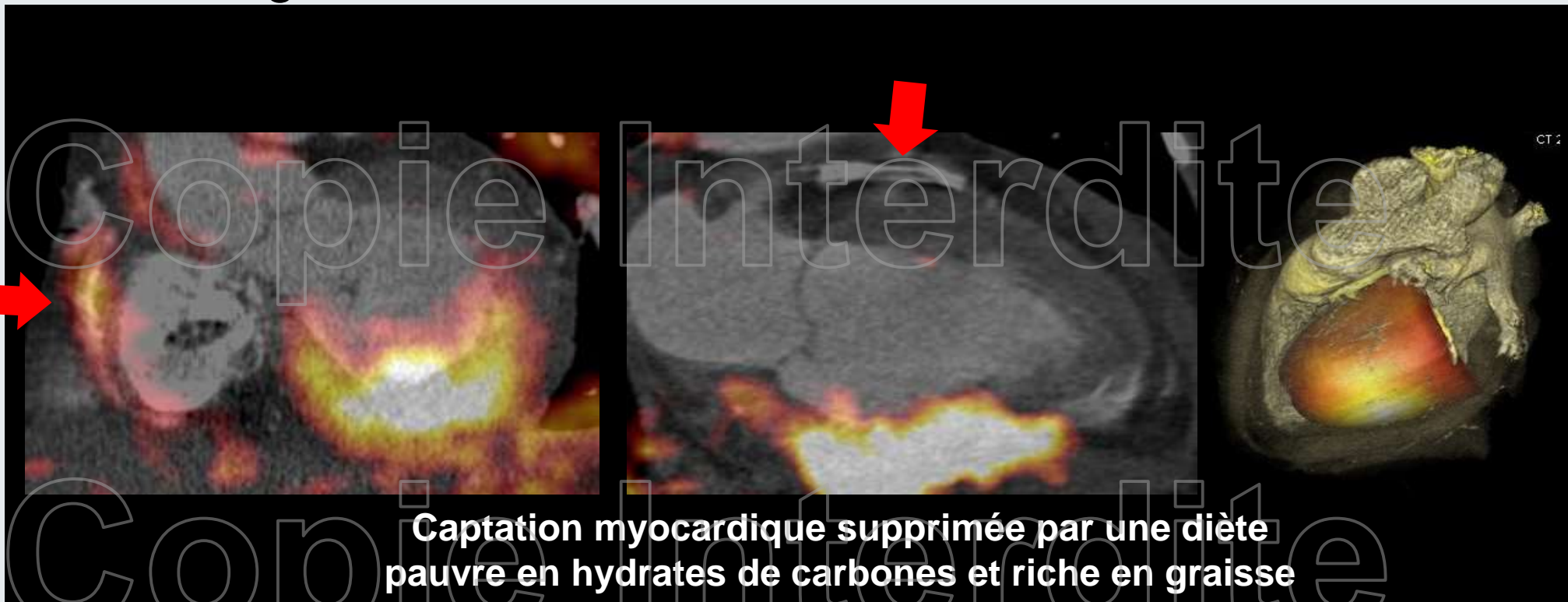
**PCR = 1,3 ml/dl**

**10 jours post-infarctus**



# TEP/TDM au $^{18}\text{F}$ -FDG de l'artère responsable d'un infarctus inférieur du myocarde

Occlusion aiguë de l'ACD, antécédent de stent sur l'IVA

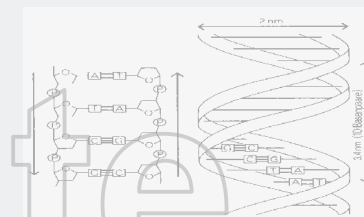
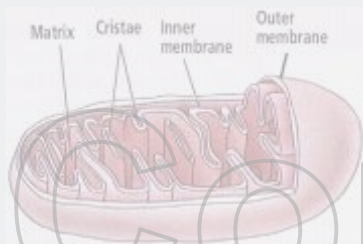


# Imagerie cardiaque moléculaire

Imagerie de plaque

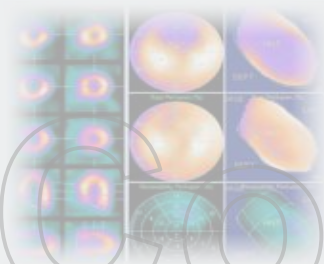
Métabolisme

Expression des gènes



Imagerie de perfusion

Angiogenèse





# Imagerie de la réparation myocardique

Lésion myocardique ischémique

Angiogenèse, collagène

Activation cellulaire (Endo, Fibrobl.)

• Expression de l'intégrine  $\alpha_v\beta_3$

Néovaisseaux, formation de collagène

Flux sanguin, réparation tissulaire

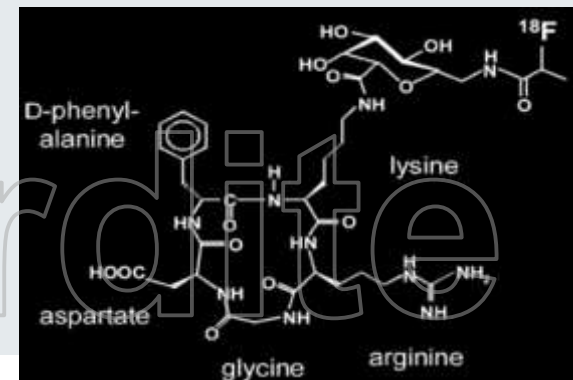
Récupération fonctionnelle, remodelage

Matrice extracellulaire

Cellule endothéliale

Intégrine  $\alpha_v\beta_3$   
(migration, adhésion,  
transduction du signal)

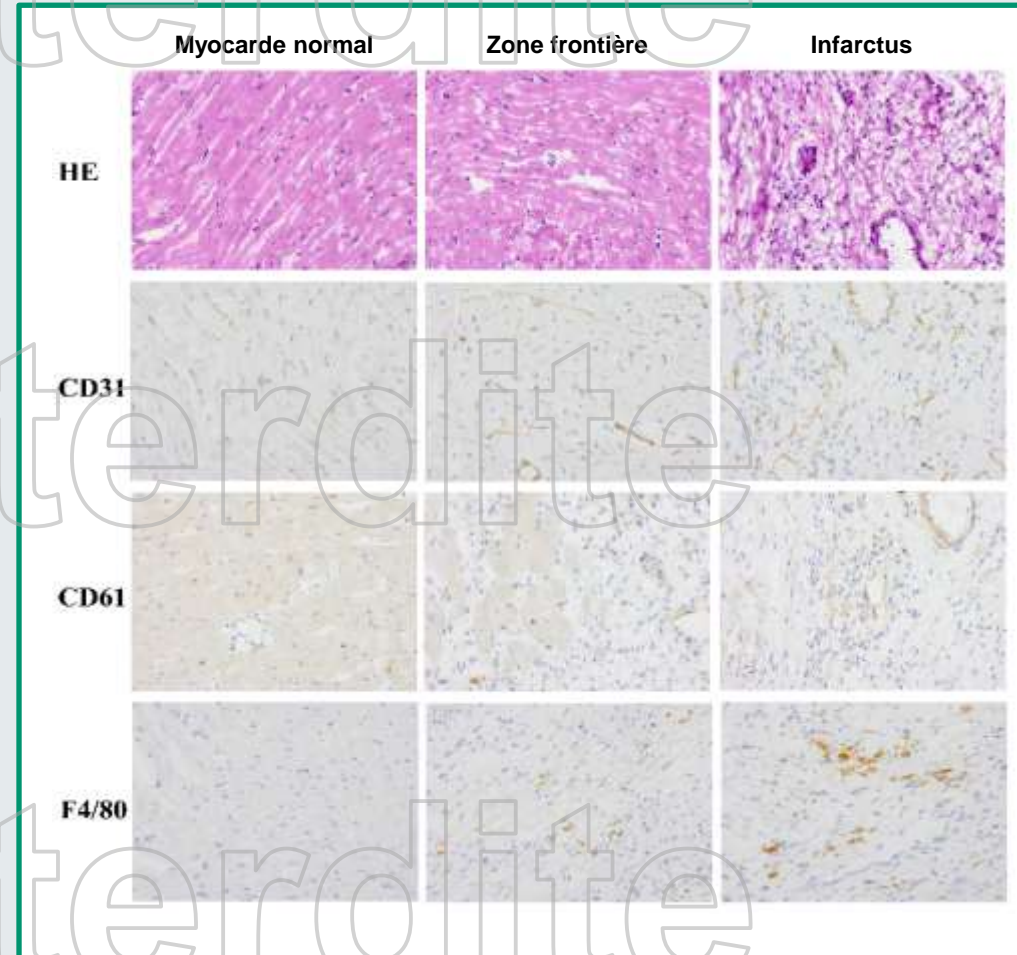
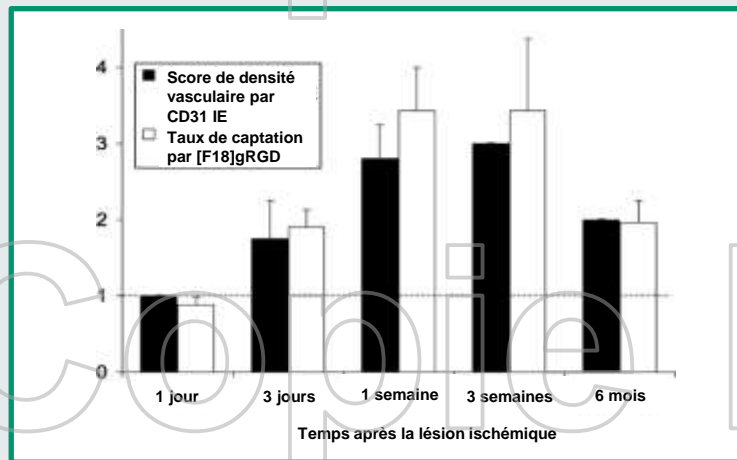
$^{18}\text{F}$ -galactoRGD



University Hospital  
Zurich

# Imagerie de la réparation myocardique

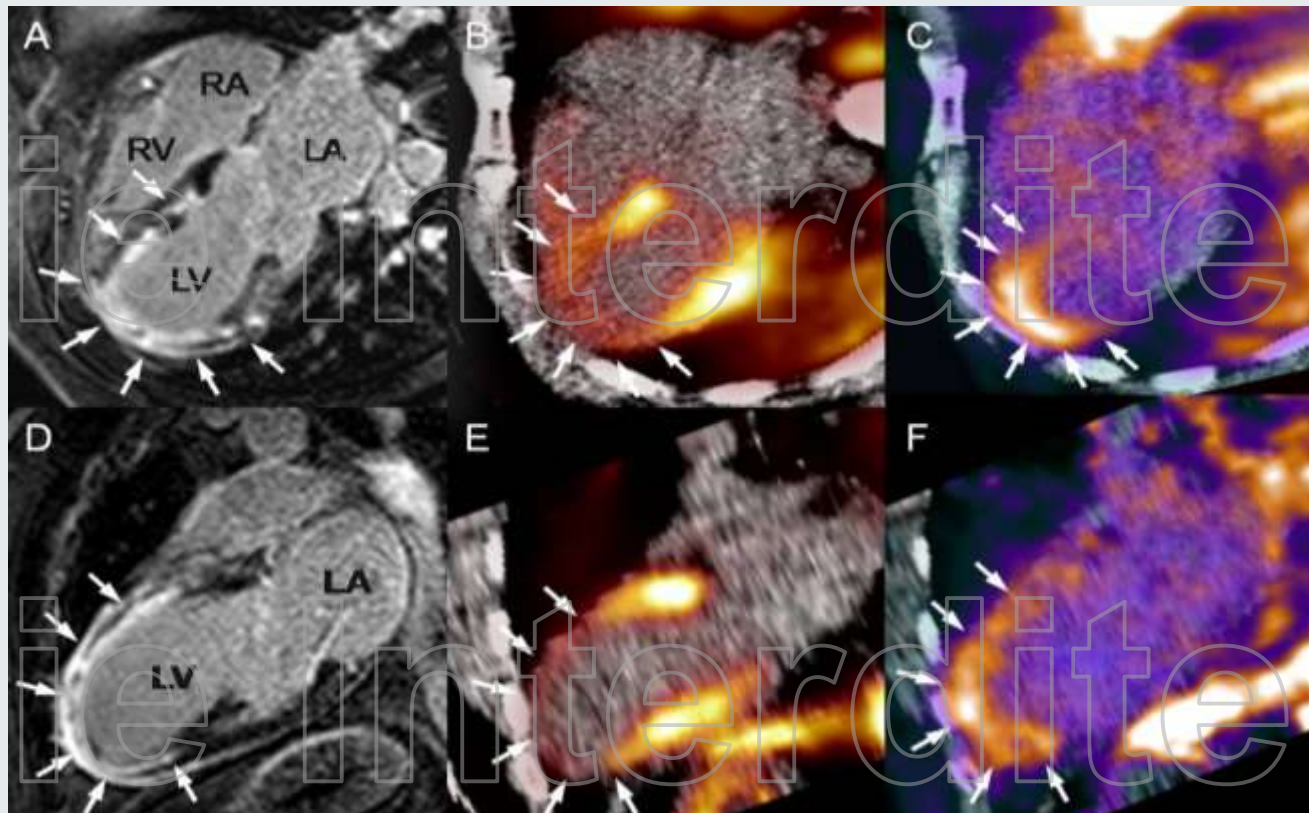
- Ligature permanente de l'ACG induit un infarctus
- Angiogenèse maximale 1 semaine après l'infarctus et correspond au RGD
- Infarctus et zone frontière positifs pour néovaisseaux (CD31), macrophages (F4/80) et bêta-3 intégrine (CD61)
- Beta-3 co-localise avec les cellules endothéliales (voir Rudelius, SNM Poster No. 1781 and Gao et al EJNMMI 2012;39:683-92)



# Expression de l'intégrine comme marqueur de l'angiogenèse post-infarctus du myocarde

IRM-RT  $^{13}\text{N}$ -ammoniac  $^{18}\text{F}$ -gRGD

Vue des 4  
cavités



Vue des 2  
cavités



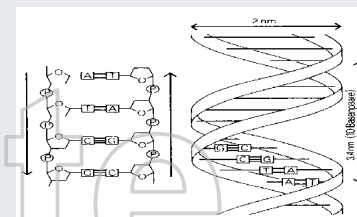
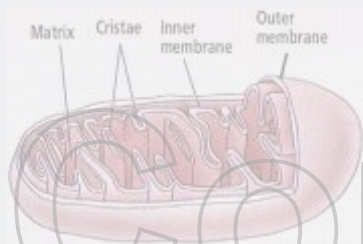


# Imagerie cardiaque moléculaire

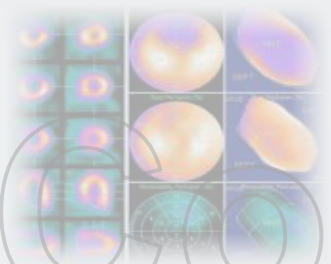
Imagerie de plaque

Métabolisme

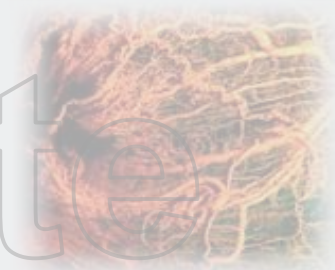
Expression des gènes



Imagerie de perfusion



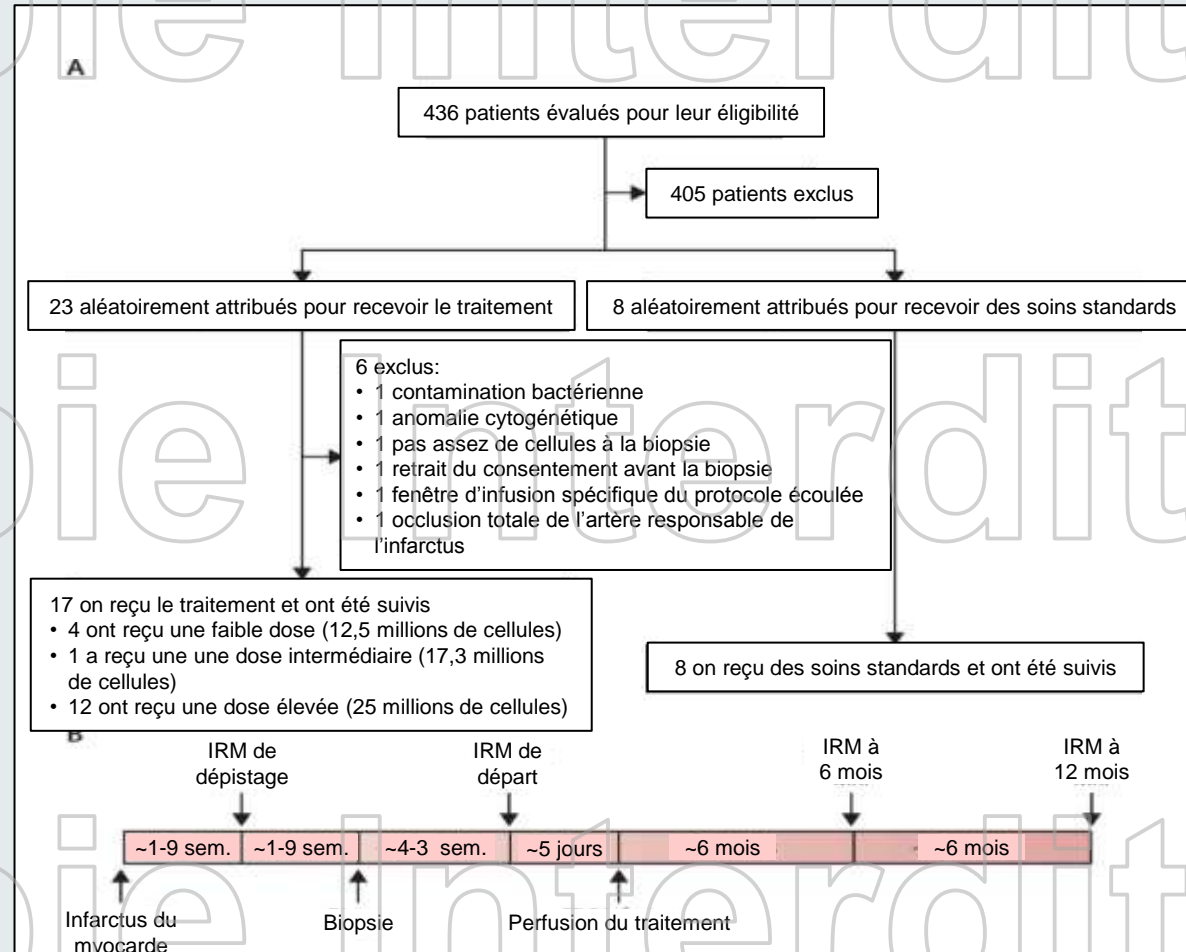
Angiogenèse





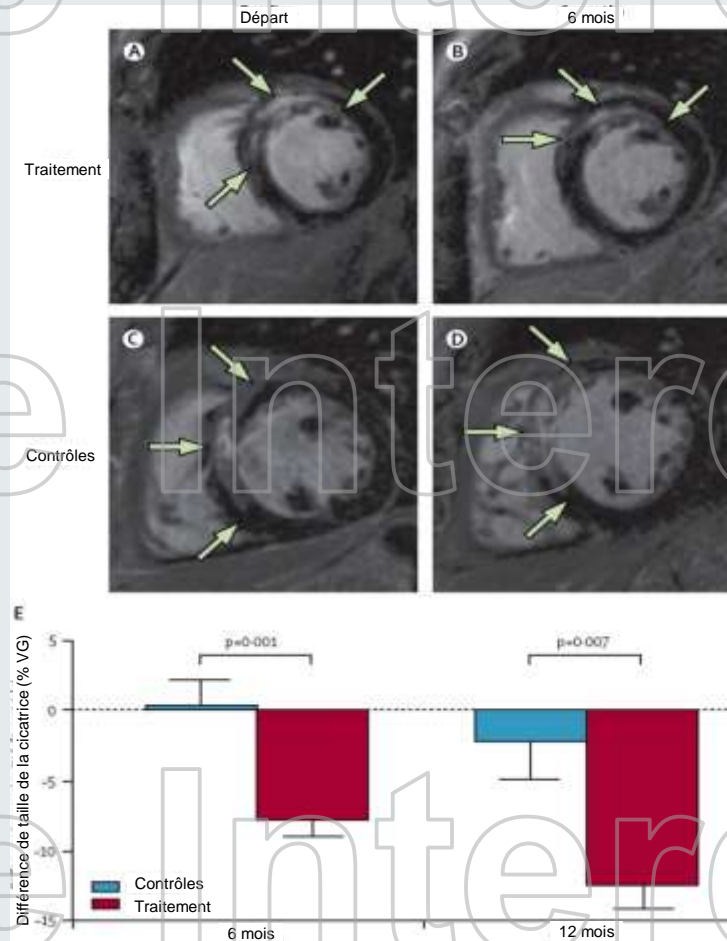
# Étude de Phase I CADUCEUS

## Transplantation cellulaire intra-coronaire dérivée de cardiosphères

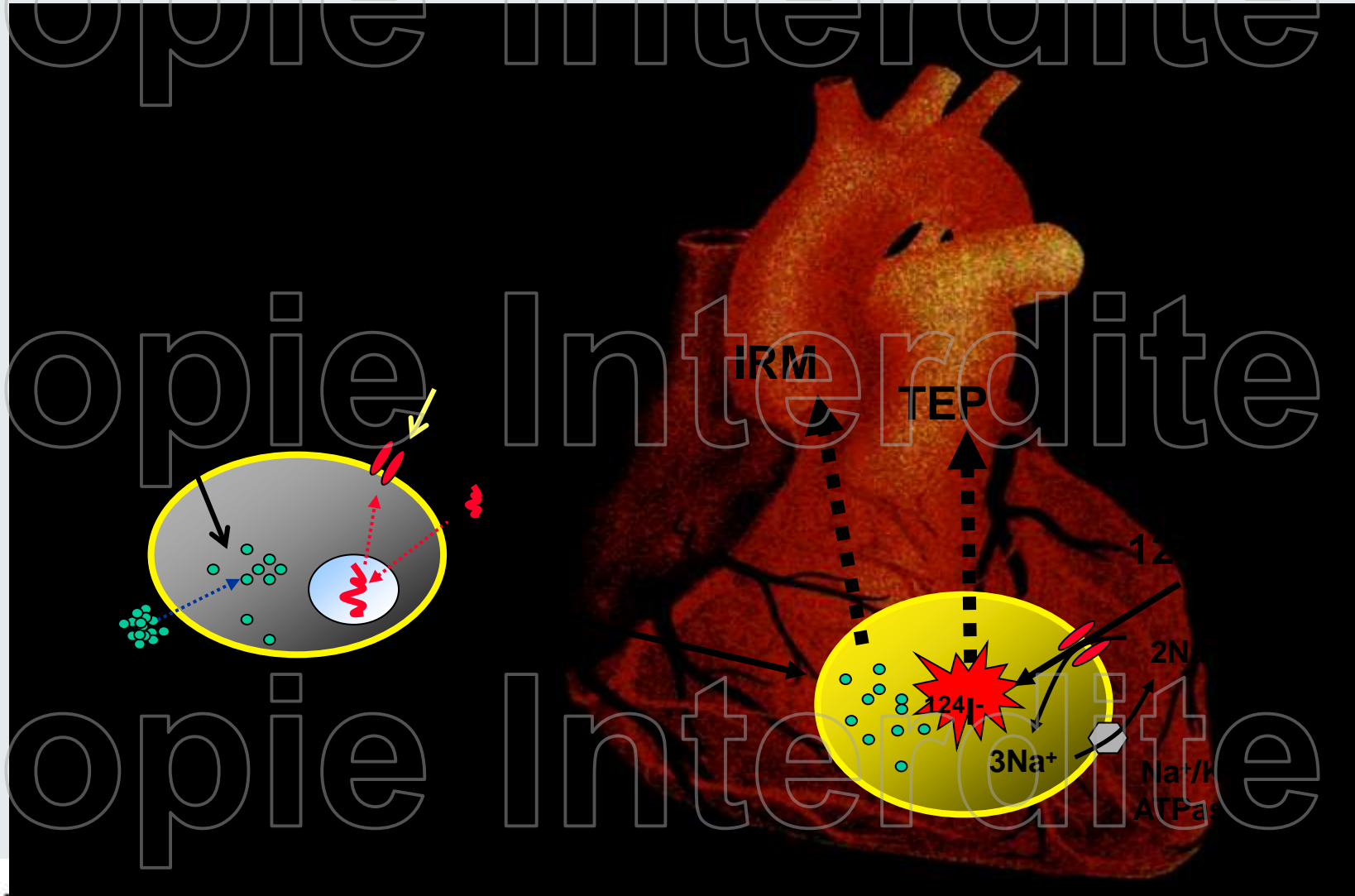


# Étude de Phase I CADUCEUS

## Transplantation cellulaire intra-coronaire dérivée de cardiosphères



# Imagerie de transplantation cellulaire

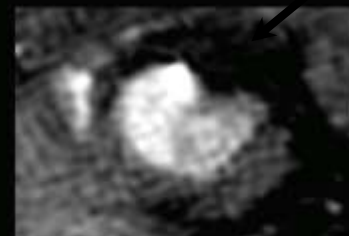
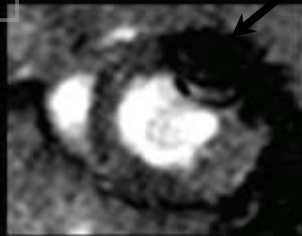


# Suivi de la thérapie cellulaire par l'imagerie d'un gène-témoin

TEP  
( $^{124}\text{I}$  /  $^{13}\text{NH}_3$ )



IRM  
(T2\*)



Jour 1

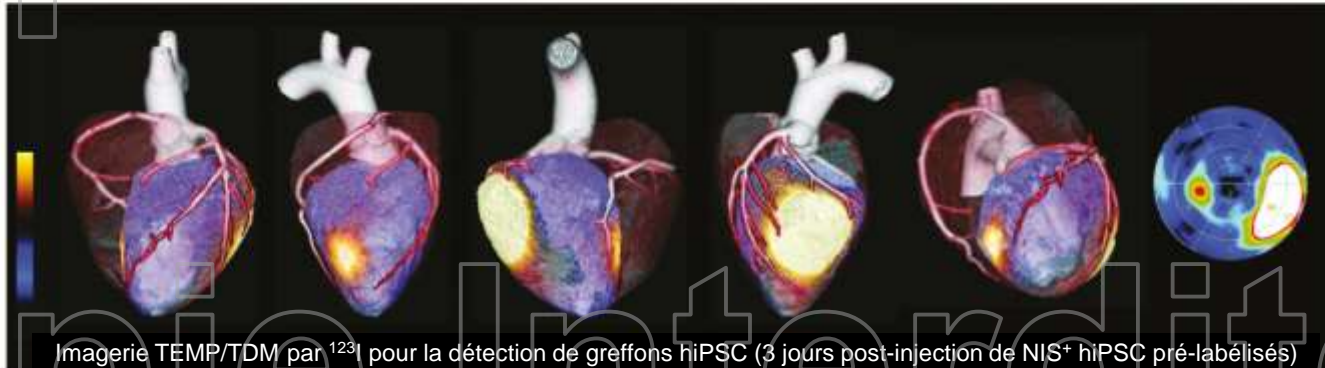
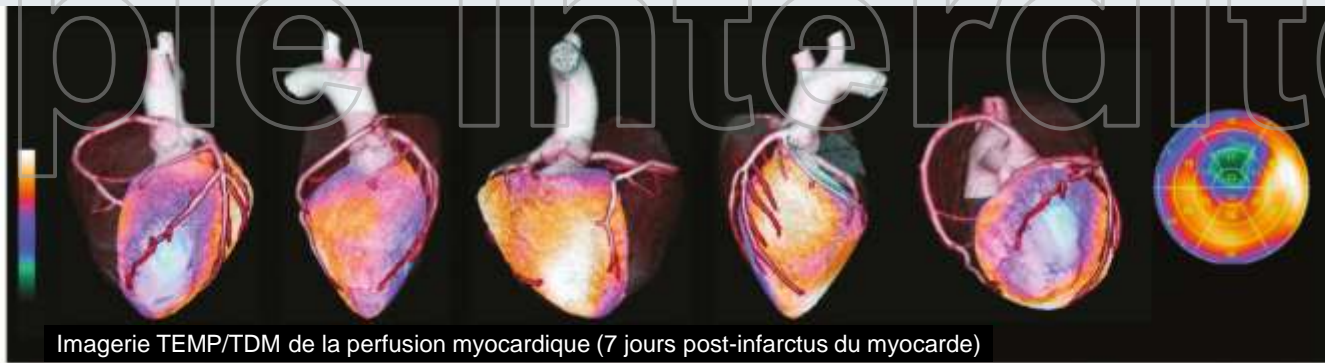
Jour 3

Jour 7

Jours après la transplantation cellulaire







**Transplantation and Tracking of Human-Induced Pluripotent Stem Cells in a Pig Model of Myocardial Infarction**  
 Assessment of Cell Survival, Engraftment, and Distribution by Hybrid Single Photon Emission Computed Tomography/Computed Tomography of Sodium Iodide Symporter Transgene Expression



# Nuclear meets friends

At eye level?



Friends?

